

# 制御理論 (前半担当)

大石 潔

5月11日(1回目)～6月15日(6回目)

6月15日：中間レポート課題

締切：6月22日

- システムの記述、ブロック線図と伝達関数
- フィードバック制御系の安定性、ボード線図とナイキストの安定判別法
- 位相余有、ゲイン余有、位相遅れ補償、位相進み補償
- 状態方程式と伝達関数、状態方程式の解と状態遷移行列
- 固有値、固有ベクトル、座標変換と対角正準系
- 可制御性と可制御正準系、可観測性と可観測正準系、双対性

## 5.1 周波数応答とは

図 5.1 に示すように，線形定係数回路に入力信号  $x_i(t)$  として，

$$x_i(t) = X_i \sin \omega t \quad (5.1)$$

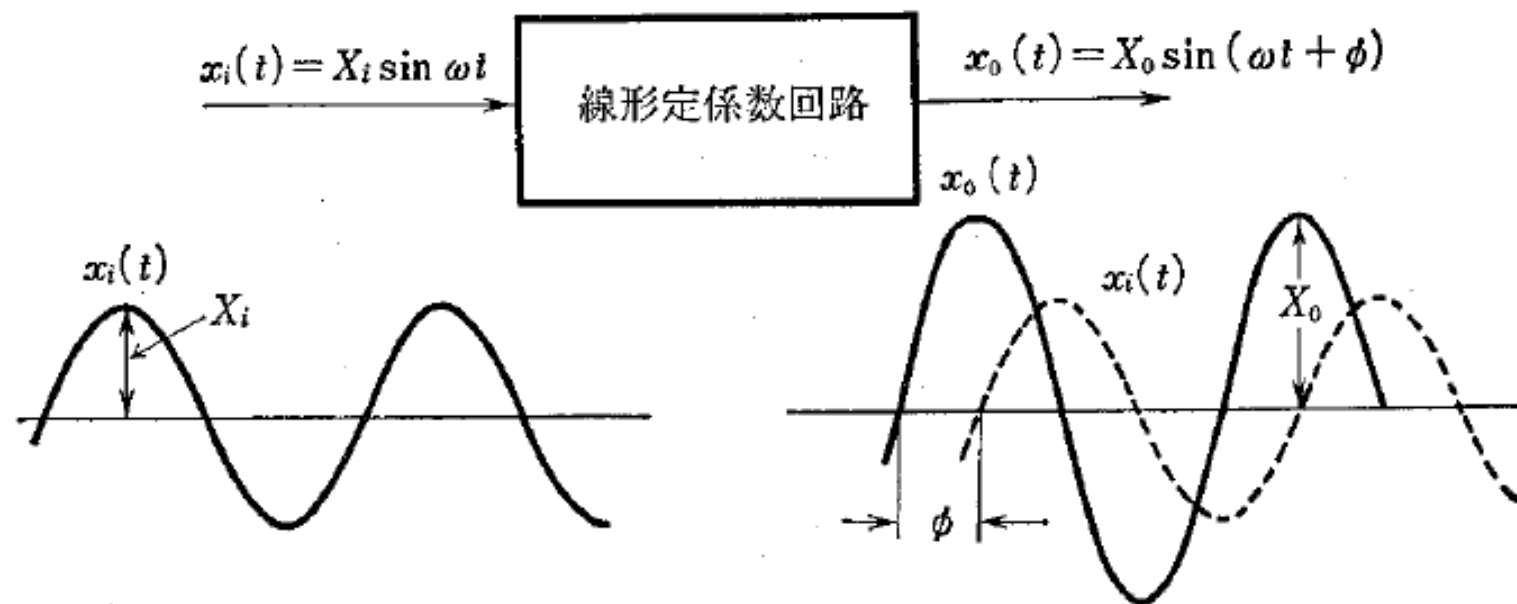
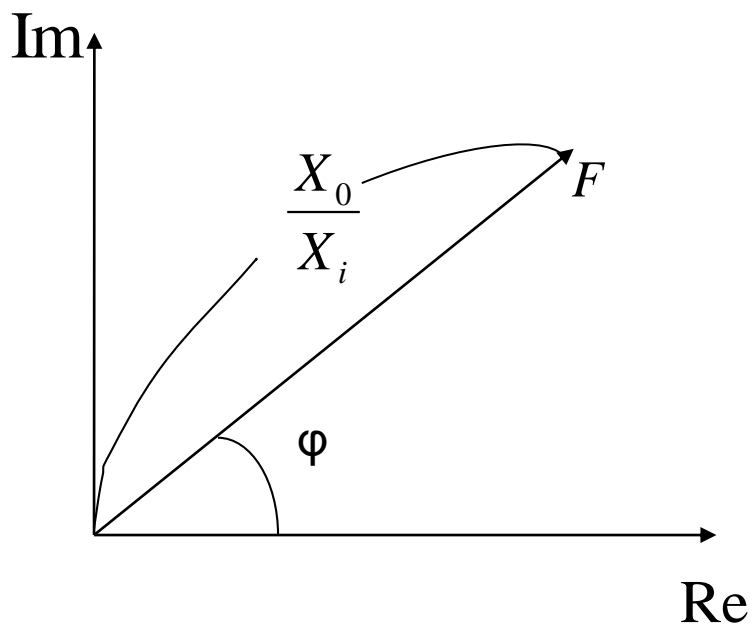
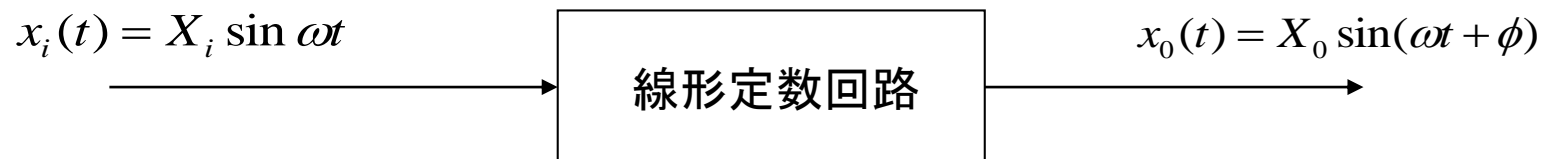


図 5.1 定常時の入出力関係

## 5. 周波数応答

### 【5.1 周波数応答とは】



$$\begin{aligned} F &= \frac{X_0}{X_i} \cos \phi + j \frac{X_0}{X_i} \sin \phi \\ &= \frac{X_0}{X_i} e^{j\phi} \end{aligned}$$

$F$  : 周波数応答と呼ぶ

【例題】 微分要素の周波数応答

$$x_0(t) = \frac{d}{dt} (X_i \sin \omega t) = \omega X_i \sin(\omega t + 90^\circ)$$

$$\text{振幅比} \quad \cdots \frac{\omega X_i}{X_i} = \omega$$

$$\text{位相差} \quad \cdots 90^\circ = j$$

$$F = j\omega$$

### 5.3.1 ベクトル軌跡

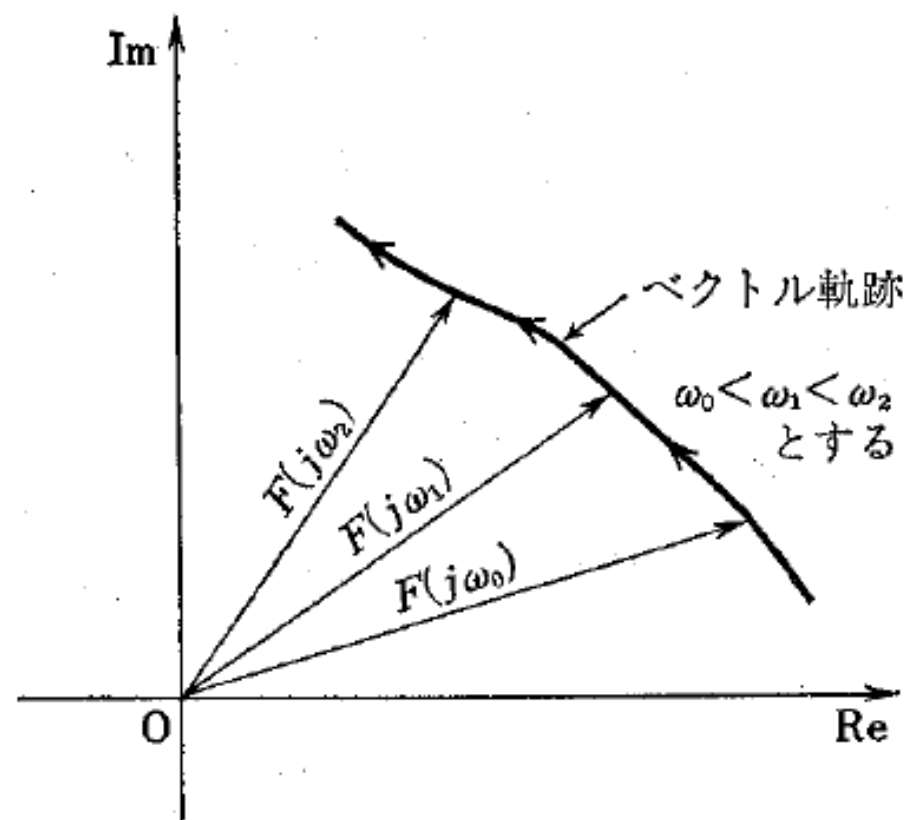


図 5.7 ベクトル軌跡

## 【5.2 伝達関数F(s)を持つ系の周波数応答】

$$x_0(t) = \int_0^t f(t-\tau) A e^{j\omega\tau} d\tau = \int_0^t f(\tau) A e^{j\omega(t-\tau)} d\tau$$

$t \rightarrow \infty$  を考える

$$x_0(t) \rightarrow X_{0s}(t)$$

$$x_{0s} = \int_0^\infty f(\tau) A e^{j\omega(t-\tau)} d\tau$$

$$= A e^{j\omega t} \int_0^\infty f(\tau) e^{-j\omega\tau} d\tau$$

$$F(j\omega) = \int_0^\infty f(t) e^{-j\omega t} dt \quad \text{とする} \leftarrow \underline{\text{フーリエ変換}}$$

$$x_{0s} = A e^{j\omega t} \times F(j\omega)$$

インパルス応答 $f(t)$ を持つ要素に $x_i(t)$ が追加されたとき  
出力信号 $x_0(t)$ は

$$x_0(t) = \int_0^t f(\tau)x_i(t-\tau)d\tau$$

$$\int_0^\infty e^{-j\omega t} x_0(t)dt = \int_0^\infty e^{-j\omega t} dt \int_0^t f(\tau)x_i(t-\tau)d\tau$$

$$\begin{aligned} X_0(j\omega) &= \int_0^\infty dt \int_0^t e^{-j\omega t} f(\tau)x_i(t-\tau)d\tau \\ &= \int_0^\infty d\tau \int_\tau^\infty e^{-j\omega t} f(\tau)x_i(t-\tau)dt \end{aligned}$$

$$e^{-j\omega t} = e^{-j\omega(\tau+t-\tau)} = e^{-j\omega\tau} e^{-j\omega(t-\tau)} \quad \text{とおくと}$$

$$= \int_0^\infty e^{-j\omega\tau} f(\tau)d\tau \int_\tau^\infty e^{-j\omega(t-\tau)} x_i(t-\tau)dt$$

$$t-\tau = \sigma \quad \text{とおくと}$$

$$= \int_0^\infty f(\tau)e^{-j\omega\tau} d\tau \int_0^\infty e^{-j\omega\sigma} x_i(\sigma)d\sigma$$

$$= \underline{F(j\omega) \times X_i(j\omega)}$$

→ 周波数応答 と呼ぶ

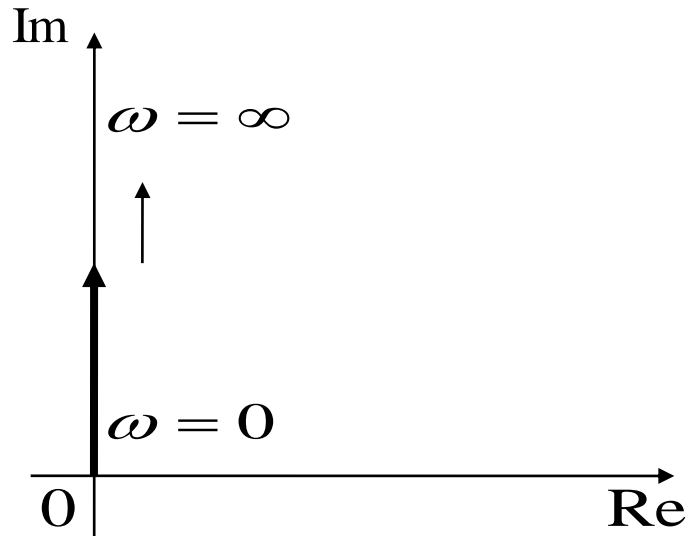


周波数応答  $F(j\omega)$  において,  $\omega$  を  $0 \rightarrow \infty$  まで変化させて  
いったとき,  $F(j\omega)$  の変化の様子を表現する方法に  
ベクトル軌跡 と ボード線図 がある。

1) ベクトル軌跡

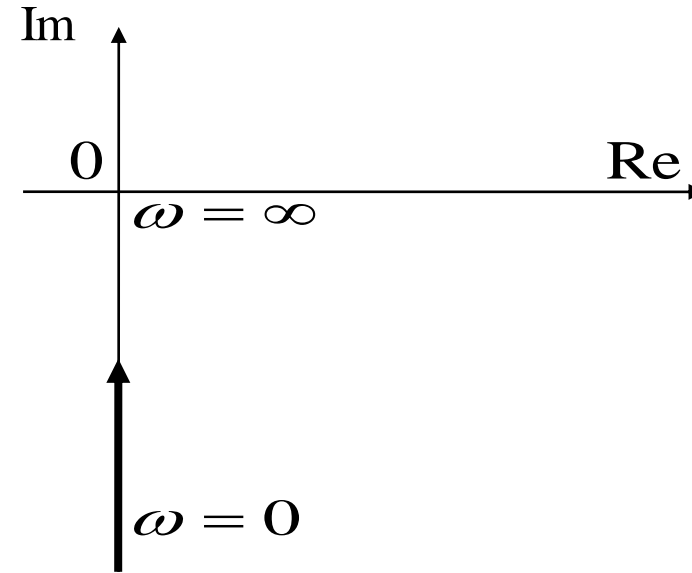
i) 微分要素

$$F(j\omega) = j\omega$$



ii) 積分要素

$$F(j\omega) = 1/j\omega = -j/\omega$$



### iii) 1次遅れ要素

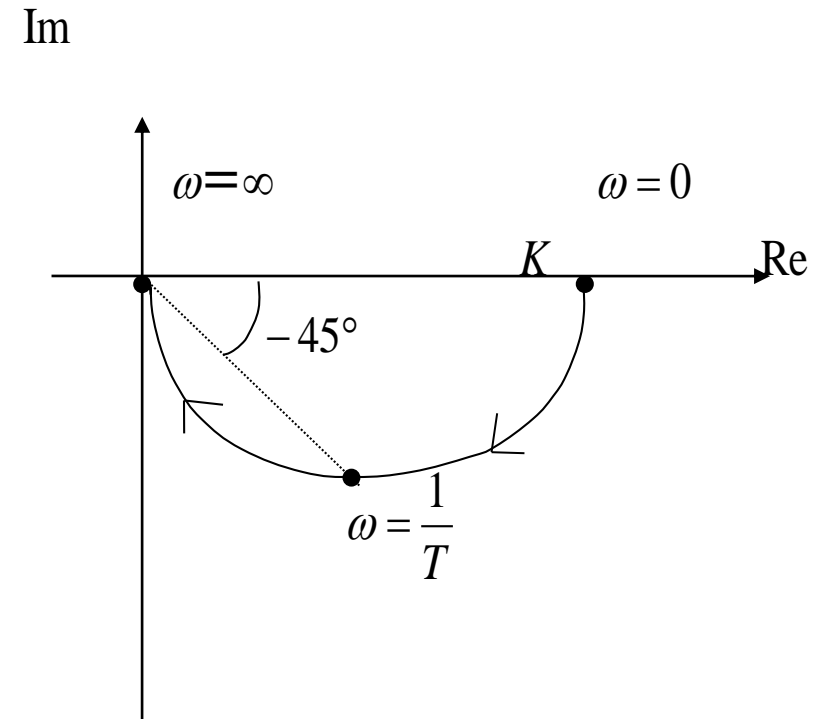
$$F(j\omega) = \frac{K}{1+j\omega T} = \frac{K}{1+\omega^2 T^2} (1-j\omega T)$$

$$\begin{aligned} \text{大きさ } |F(j\omega)| &= \sqrt{\frac{K^2}{(0+\omega^2 T^2)^2} + \frac{\omega^2 T^2 K^2}{(1+\omega^2 T^2)^2}} \\ &= \sqrt{\frac{K^2(1+\omega^2 T^2)}{(1+\omega^2 T^2)^2}} \\ &= \frac{K}{\sqrt{1+\omega^2 T^2}} \end{aligned}$$

位相角  $\angle F(j\omega)$

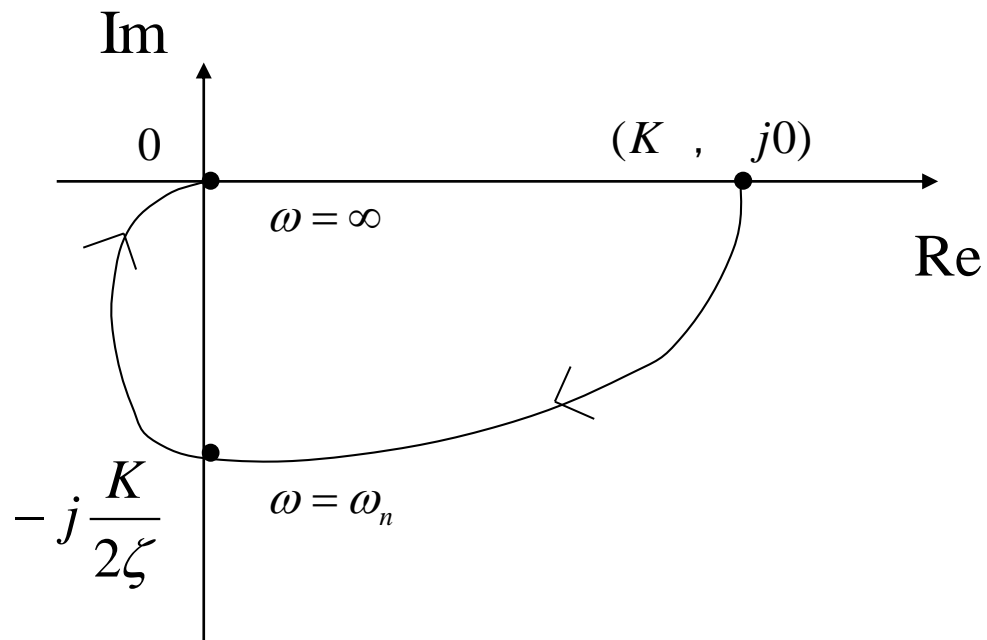
$$\tan \theta = \frac{\text{虚軸}}{\text{実軸}} = \frac{-\omega T}{1} = -\omega T \quad \text{より}$$

$$\angle F(j\omega) = -\tan^{-1} \omega T$$



#### iv) 2次遅れ要素

$$\begin{aligned}
 F(j\omega) &= \frac{K}{1 + 2\zeta(j\omega/\omega_n) + (j\omega/\omega_n)^2} \\
 &= \frac{K}{1 - \frac{\omega^2}{\omega_n^2} + j2\zeta \frac{\omega}{\omega_n}} \\
 &= \frac{K(1 - \frac{\omega^2}{\omega_n^2} + j2\zeta \frac{\omega}{\omega_n})}{(1 - \frac{\omega^2}{\omega_n^2})^2 + 4\zeta^2 \frac{\omega^2}{\omega_n^2}}
 \end{aligned}$$



位相

$$\begin{aligned}
 \tan \theta &= \frac{s\zeta \frac{\omega}{\omega_n}}{1 - \frac{\omega^2}{\omega_n^2}} \\
 &= \frac{2\zeta \frac{1}{\omega_n}}{\frac{1}{\omega} - \frac{\omega}{\omega_n^2}}
 \end{aligned}$$

# むだ時間要素

$$F(j\omega) = e^{-j\omega L}$$

$$= \cos \omega L - j \sin \omega L$$

したがってベクトルは

$$\left. \begin{aligned} |F(j\omega)| &= 1 \\ \angle F(j\omega) &= -\omega L \end{aligned} \right\} \text{[rad]}$$

(5.22)

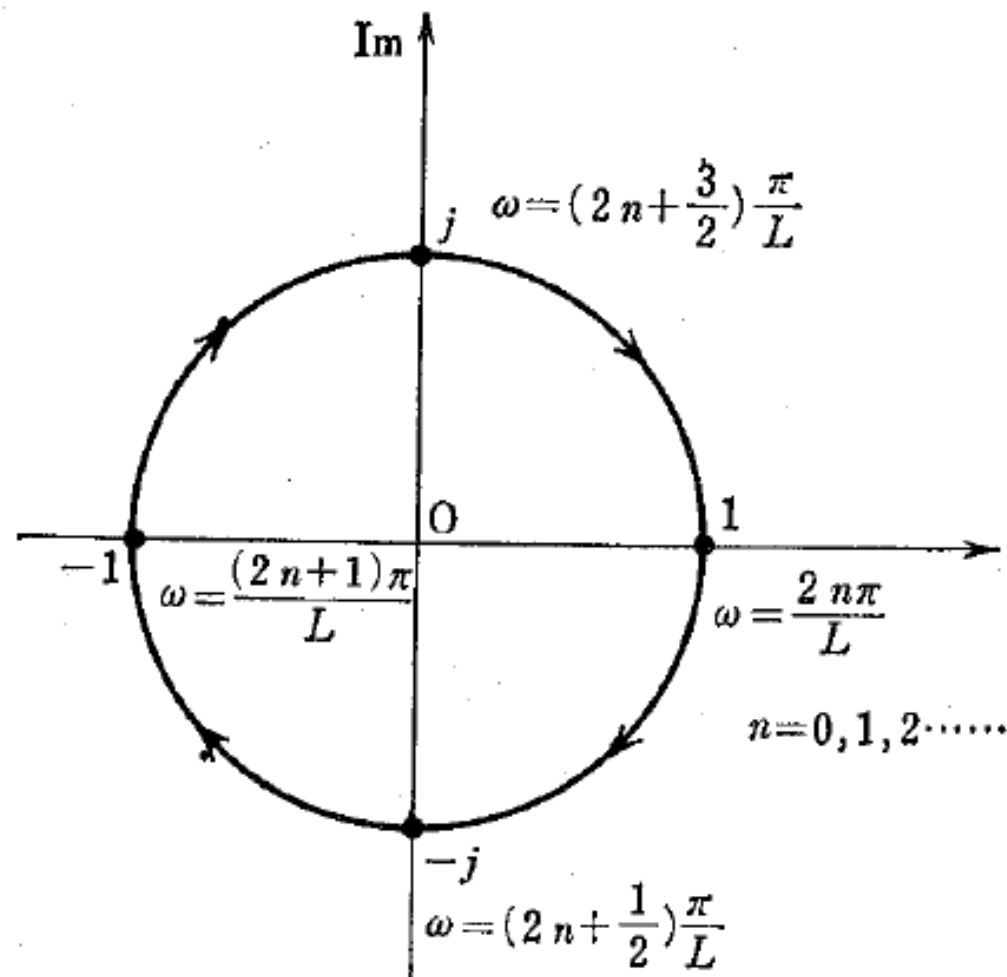


図 5.12 むだ時間要素のベクトル軌跡

v) むだ時間要素

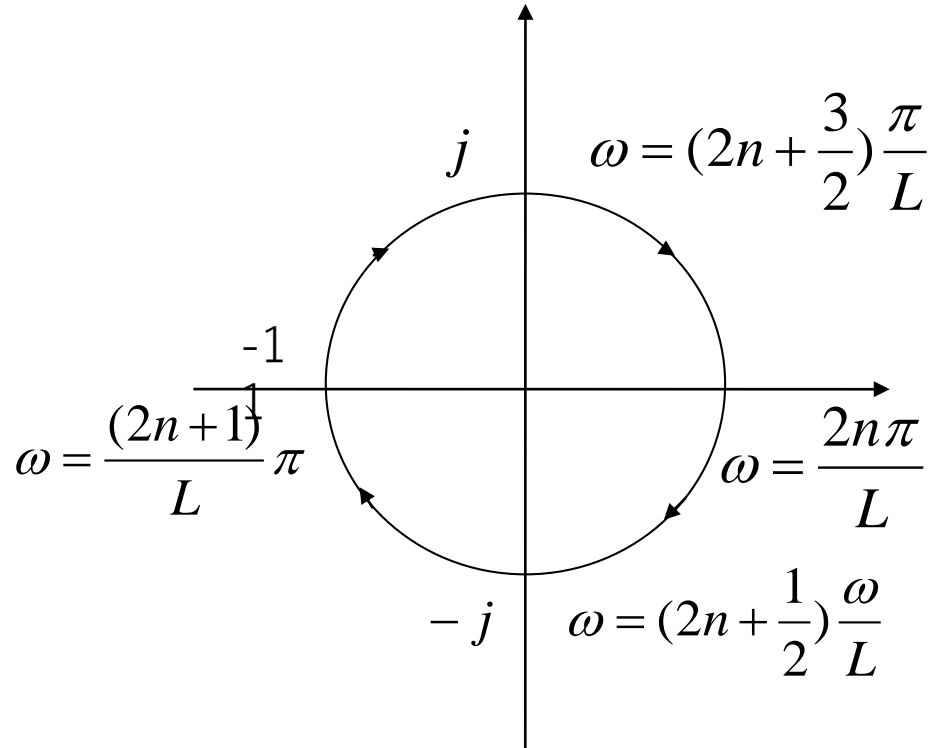
$$F(j\omega) = e^{-j\omega L}$$

$$= \cos \omega L - j \sin \omega L$$

$$|F(j\omega)| = \cos^2 \omega L + \sin^2 \omega L = 1$$

$$\angle F(j\omega) = -\omega L$$

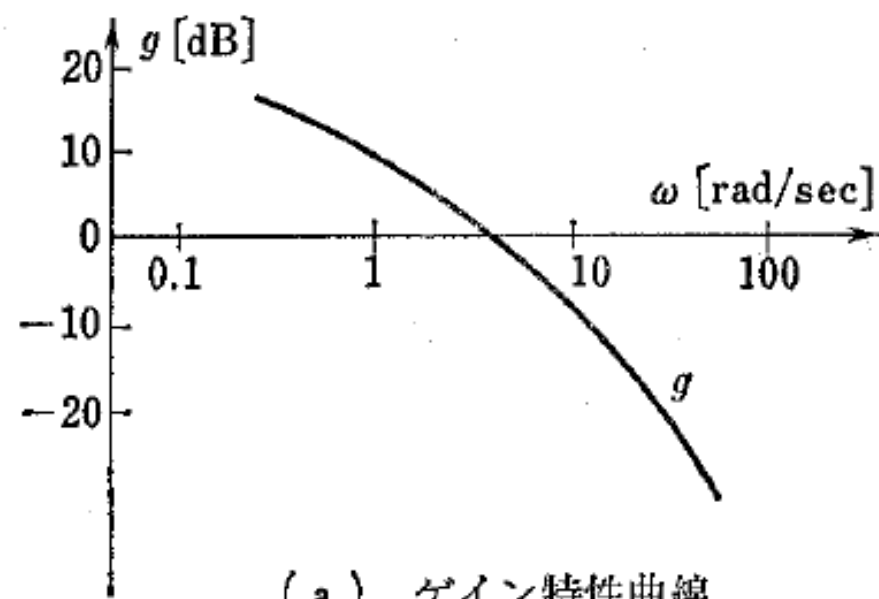
$$\begin{aligned} \tan \theta &= \frac{-\sin \omega L}{\cos \omega L} \\ &= \tan -\omega L \end{aligned}$$



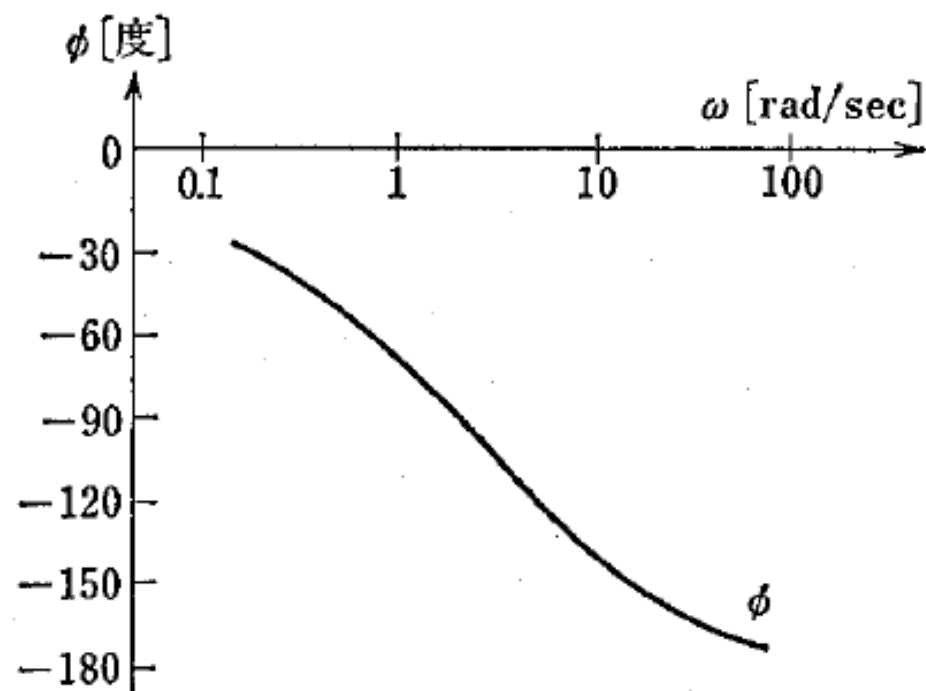
### 5.3.2 ボード線図

$$g = 20 \log_{10} |F(j\omega)| \quad [\text{dB}]$$

$$\phi = \angle F(j\omega)$$



(a) ゲイン特性曲線



(b) 位相特性曲線

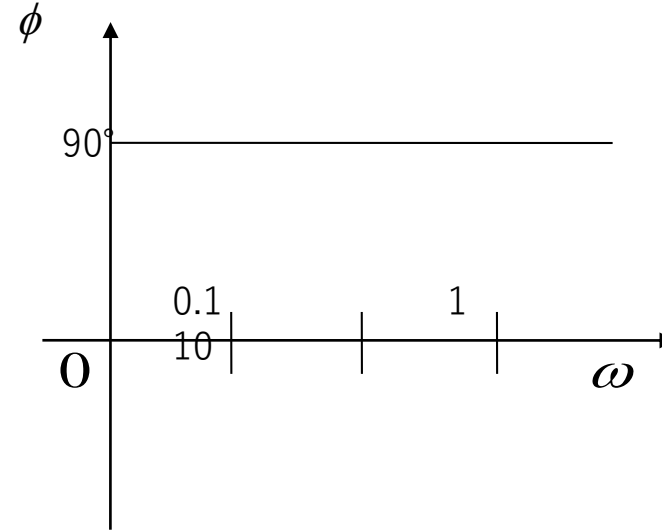
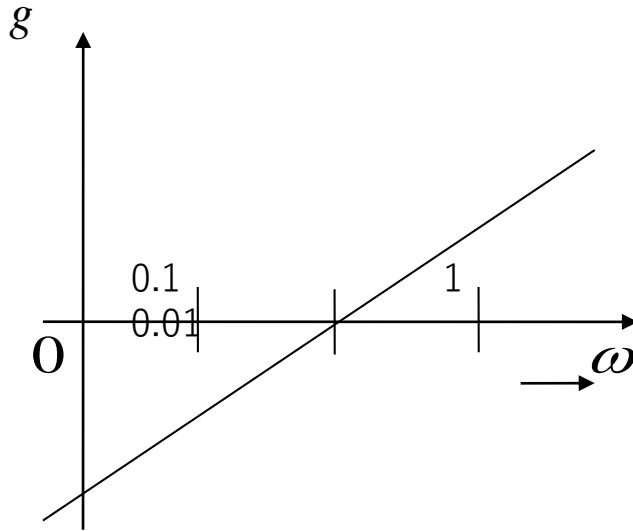
2) ボード線図

$$\left\{ \begin{array}{l} \text{ゲイン特性曲線} \\ g = 20 \log_{10} |F(j\omega)| \quad [db] \\ \text{位相特性曲線} \\ \phi = \angle F(j\omega) \end{array} \right.$$

i) 微分要素

$$g = 20 \log |j\omega| = 20 \log \omega$$

$$\phi = 90^\circ$$



$\omega$ が10倍増加すると, 20[db]ずつ増加する  
(decode)

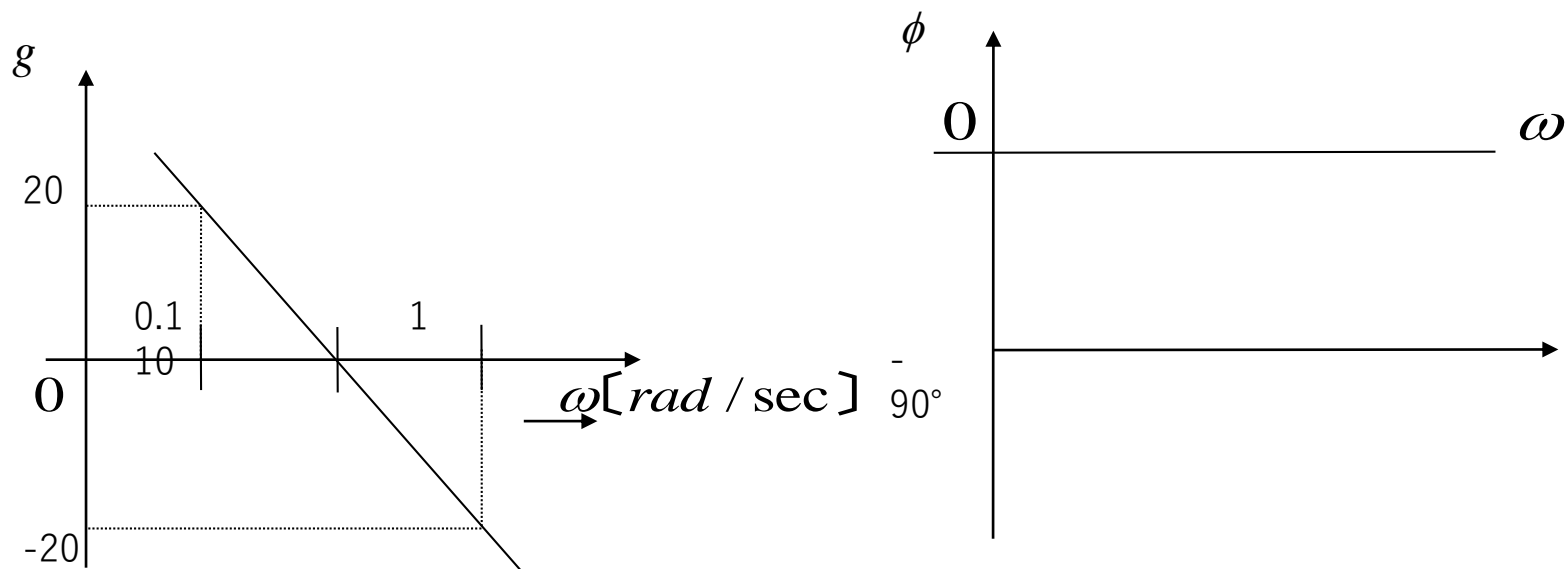


ゲイン特性曲線の傾き  
→ 20 [db/decode] と呼ぶ

## ii) 積分要素

$$g = 20 \log \left| \frac{1}{j\omega} \right| = 20 \log \left| -\frac{j}{\omega} \right| = -20 \log \omega$$

$$\phi = -90^\circ$$



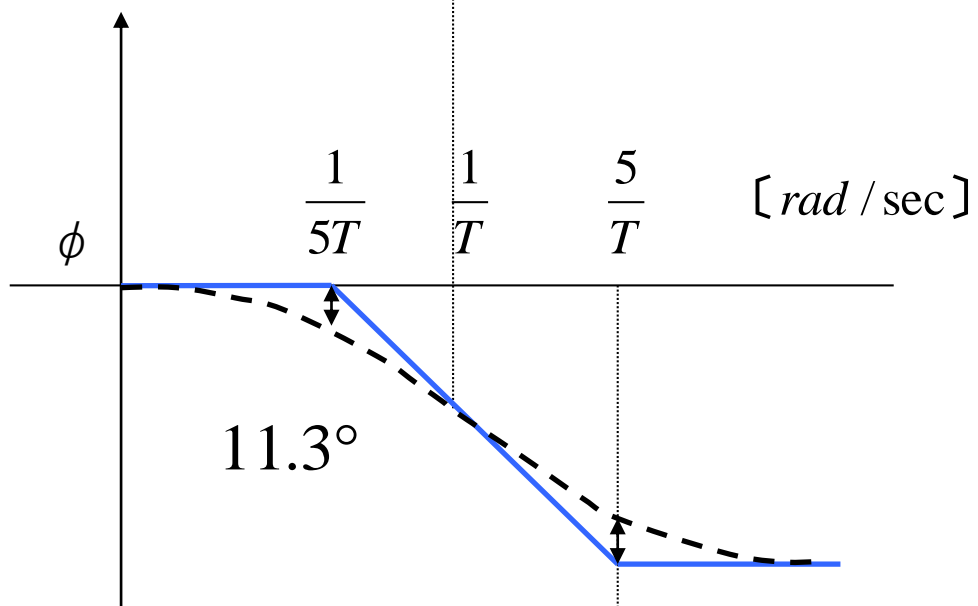
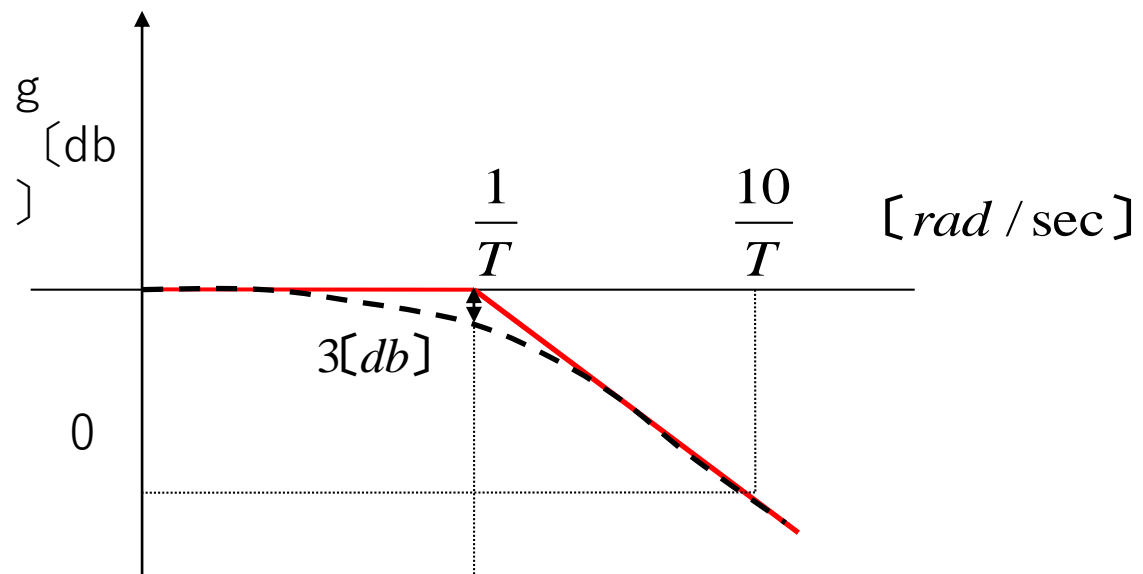


### iii) 1次遅れ要素

$$g = 20 \log \frac{1}{\sqrt{1 + (\omega T)^2}} = -20 \log \sqrt{1 + \omega^2 T^2}$$

$$\omega T < 1 \quad \text{のとき} \quad g \doteq -20 \log \sqrt{1} \simeq 0$$

$$\begin{aligned} \omega T > 1 \quad \text{のとき} \quad g &\doteq -20 \log \sqrt{\omega^2 T^2} \\ &= -20 \log T - 20 \log \omega \end{aligned}$$



$\frac{1}{T}$ : 折点角周波数

その時のゲイン

$$\begin{aligned}
 g &= -20 \log \sqrt{1 + \left(\frac{1}{T}T\right)^2} \\
 &= -20 \log \sqrt{2} \\
 &= -10 \log 2 \\
 &= -10 \times 0.301 \quad [db]
 \end{aligned}$$

その時の位相

$$\begin{aligned}
 \phi &= -\tan^{-1} \frac{1}{T}T \\
 &= -\tan^{-1} 1 = -45^\circ
 \end{aligned}$$

$\frac{10}{T}$ のゲイン

$$g = -20 \log \sqrt{1 + 10^2} = -10 \log \sqrt{101} = -20.04 \quad [db]$$

$\frac{1}{5T}$ の位相

$$\phi = -\tan^{-1} \frac{1}{5} = -11.3^\circ$$

$\frac{5}{T}$ の位相

$$\phi = -\tan^{-1} 5 = -78.7^\circ$$

$$g = -20 \log \sqrt{1 + (0.5 \omega)^2} = -10 \log \{1 + (0.5 \omega)^2\}$$

$$\phi = -\tan^{-1} 0.5 \omega$$

表 5.1  $1/(1+j0.5\omega)$  の周波数特性

$\omega$	$g$	$\phi$
0.2	- 0.04	- 5.7
0.4	- 0.17	-11.3
0.6	- 0.37	-16.7
0.8	- 0.64	-21.8
1.0	- 0.97	-26.5
1.5	- 1.94	-36.9
2.0	- 3.01	-45.0
3.0	- 5.12	-56.3
5.0	- 8.60	-68.2
7.0	-11.22	-74.1
10.0	-14.15	-78.7
15.0	-17.58	-82.4
20.0	-20.04	-84.3

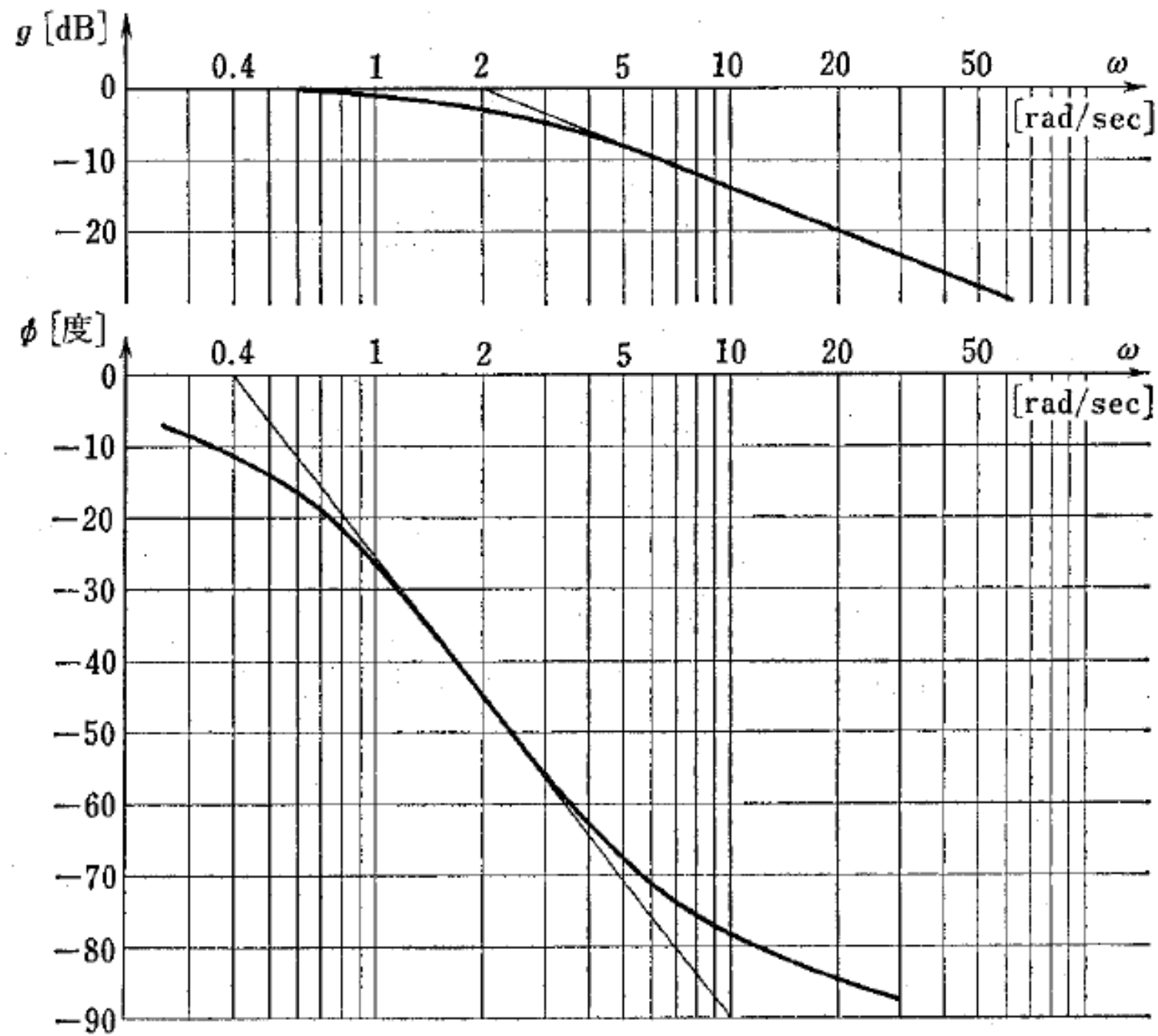


図 5.17  $1/(1+j0.5\omega)$  のボード線図

#### iv) 2次遅れ要素

$K=1$ のとき

$$\begin{aligned} F(j\omega) &= \frac{1}{1 + 2\zeta \left(\frac{j\omega}{\omega_n}\right) + \left(\frac{j\omega}{\omega_n}\right)^2} \\ &= \frac{1 - \frac{\omega^2}{\omega_n^2} - j2\zeta \frac{\omega}{\omega_n}}{\left(1 - \frac{\omega^2}{\omega_n^2}\right)^2 + 4\zeta^2 \frac{\omega^2}{\omega_n^2}} \\ &= \frac{1 - \frac{\omega^2}{\omega_n^2} - j2\zeta \frac{\omega}{\omega_n}}{1 + \frac{\omega^4}{\omega_n^4} + 2\frac{\omega^2}{\omega_n^2}(2\zeta^2 - 1)} \end{aligned}$$

$\zeta = \frac{1}{\sqrt{2}} = 0.707$  のとき

$$F(j\omega) = \frac{1 - \frac{\omega^2}{\omega_n^2} - j\sqrt{2} \frac{\omega}{\omega_n}}{1 + \frac{\omega^2}{\omega_n^2}}$$

ゲイン

$$\begin{aligned} |F(j\omega)| &= \sqrt{\frac{\left(1 - \frac{\omega^2}{\omega_n^2}\right)^2 + \left(\sqrt{2} \frac{\omega}{\omega_n}\right)^2}{\left(1 + \frac{\omega^2}{\omega_n^2}\right)^2}} \\ &= \sqrt{\frac{1 - 2\frac{\omega^2}{\omega_n^2} + \left(\frac{\omega^2}{\omega_n^2}\right)^2 + 2\frac{\omega^2}{\omega_n^2}}{\left(1 + \frac{\omega^2}{\omega_n^2}\right)^2}} \\ &= \frac{1}{\sqrt{1 + \frac{\omega^2}{\omega_n^2}}} \end{aligned}$$

ゲイン

$$\begin{aligned}
 & \frac{\sqrt{(1 - \frac{\omega^2}{\omega_n^2})^2 + (2\zeta \frac{\omega}{\omega_n})^2}}{1 + \frac{\omega^4}{\omega_n^4} + 2 \frac{\omega^2}{\omega_n^2} (2\zeta^2 - 1)} \\
 &= \frac{\sqrt{1 + (\frac{\omega^2}{\omega_n^2})^2 - 2 \frac{\omega^2}{\omega_n^2} (1 - 2\zeta^2)}}{1 + (\frac{\omega^2}{\omega_n^2})^2 - 2 \frac{\omega^2}{\omega_n^2} (1 - 2\zeta^2)} \\
 &= \frac{1}{\sqrt{1 + (\frac{\omega^2}{\omega_n^2})^2 - 2 \frac{\omega^2}{\omega_n^2} (1 - 2\zeta^2)}}
 \end{aligned}$$

$$\alpha = 2(1 - 2\zeta^2) \quad \text{とおく}$$

$$= \frac{1}{\sqrt{1 + (\frac{\omega^2}{\omega_n^2})^2 - \alpha \frac{\omega^2}{\omega_n^2}}} 0$$

$$q = 1 + \frac{\omega^4}{\omega_n^4} - \alpha \frac{\omega^2}{\omega_n^2}$$

$$q' = \frac{4\omega^3}{\omega_n^4} - 2\alpha \frac{\omega}{\omega_n^2} = \frac{2\omega}{\omega_n^2} \left( \frac{2\omega^2}{\omega_n^2} - \alpha \right)$$

$$\omega = \pm \omega_n \sqrt{\frac{\alpha}{2}}$$

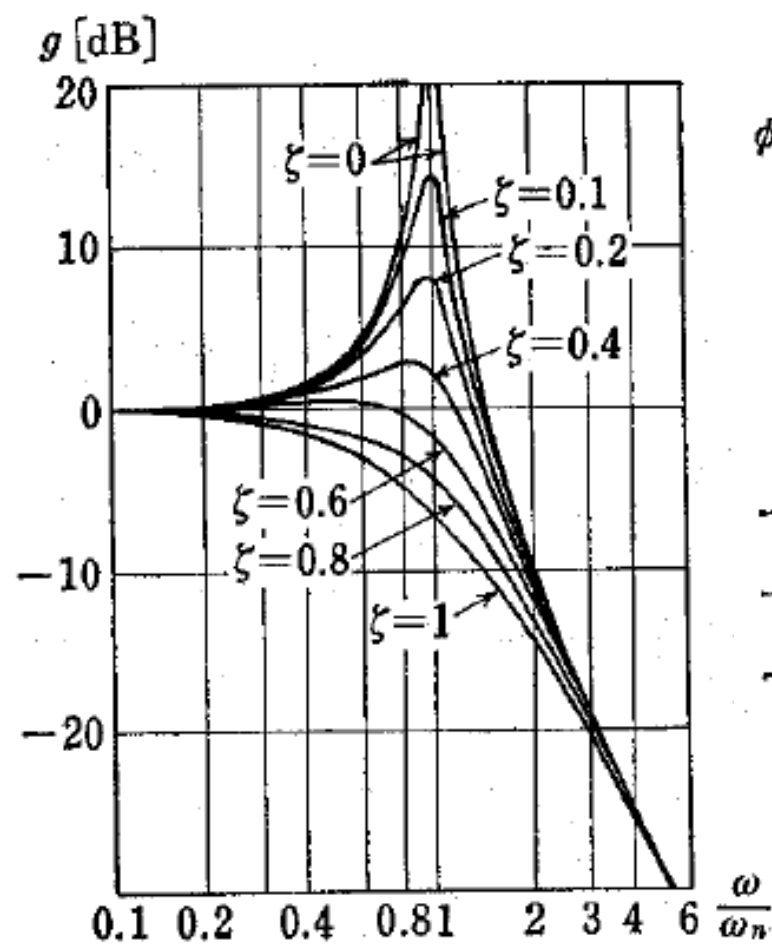
で極値 - はないので

$$\omega = \omega_n \sqrt{\frac{\alpha}{2}}$$

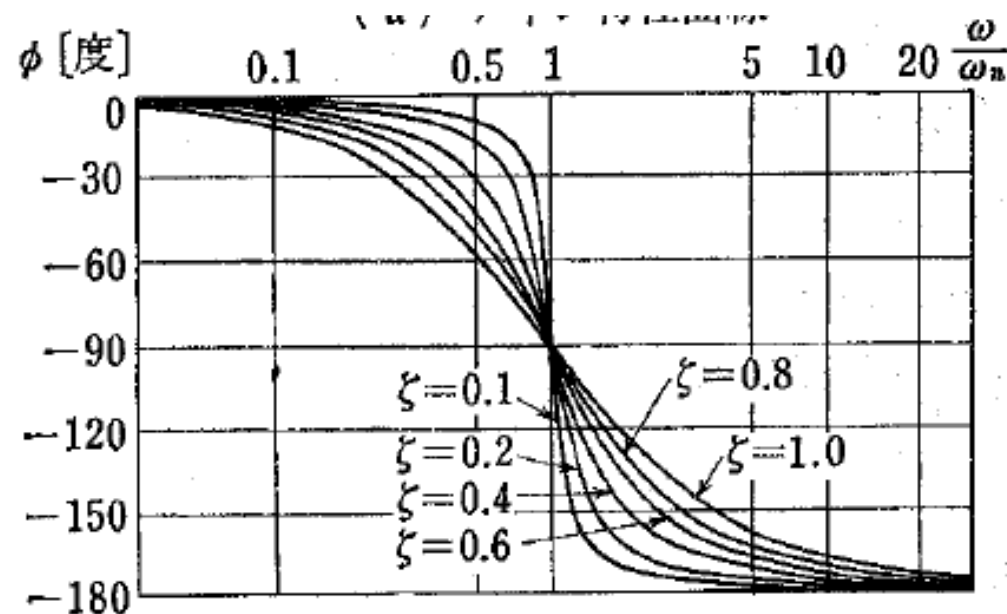
$$\text{ただし} \quad \zeta < \frac{1}{\sqrt{2}}$$

## 2次遅れ要素

$$F(j\omega) = 1 / \{ (1 - (\omega/\omega_n)^2 + j 2 \zeta \omega/\omega_n) \}$$



(a) ゲイン特性曲線



(b) 位相特性曲線

図 5.18 2次遅れ要素のボード線図



v) むだ時間要素

$$F(j\omega) = e^{-j\omega L}$$

$$|F(j\omega)| = 1$$

$$\angle F(j\omega) = -\omega L$$

ゲイン  $g = 0$  [db]

$$\phi = -\omega L \times 180 / \pi$$

[度]

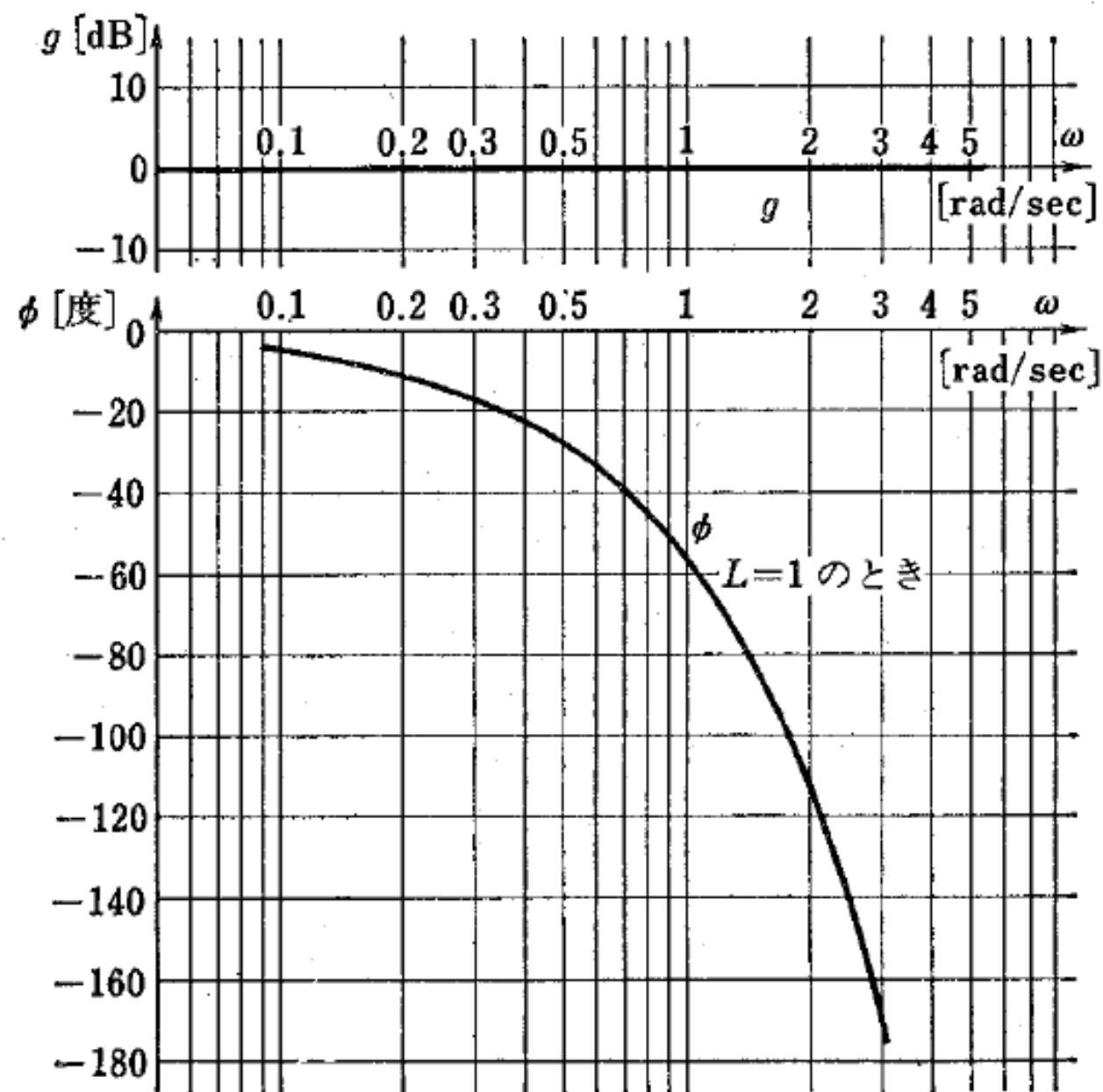


図 5.20 むだ時間要素のボード線図

## vi) 複雑な伝達関数のボード線図

$$F(s) = F_1(s) \times F_2(s) \times F_3(s) \times \cdots$$

$$F(j\omega) = F_1(j\omega) \times F_2(j\omega) \times F_3(j\omega) \times \cdots$$

$$\begin{aligned} g &= 20 \log |F_1(j\omega) \times F_2(j\omega) \times F_3(j\omega) \times \cdots| \\ &= 20 \log |F_1(j\omega)| + 20 \log |F_2(j\omega)| + 20 \log |F_3(j\omega)| + \cdots \end{aligned}$$

各ゲイン特性曲線の和として与えられる。

$$\begin{aligned} \phi &= \angle F_1(j\omega) + \angle F_2(j\omega) + \angle F_3(j\omega) + \cdots \\ &= \angle F_1(j\omega) + \angle F_2(j\omega) + \angle F_3(j\omega) + \cdots \end{aligned}$$

各位相特性曲線の和として与えられる。

例題5.4

$$\frac{\sqrt{10}(1+10s)}{1+2s} = \sqrt{10} \times (1+10s) \times \frac{1}{1+2s}$$

$$\textcircled{20 \log \sqrt{10}} = 10 \log 10 = 10 \quad [db]$$

①

直流利得(オフセット)

②

$$\textcircled{1+10s} : \quad \frac{1}{T} = 0.1 \quad , \quad \frac{10}{T} = 1$$

$$\frac{1}{5T} = 0.02 \quad , \quad \frac{5}{T} = 0.5$$

③

$$\textcircled{\frac{1}{1+2s}} : \quad \frac{1}{T} = 0.5 \quad , \quad \frac{10}{T} = 5$$

$$\frac{1}{5T} = 0.1 \quad , \quad \frac{5}{T} = 2.5$$

【例題 5.4】

$$\frac{\sqrt{10}(1+10s)}{(1+2s)} \quad \sqrt{10} \times (1+10s) \times \frac{1}{1+2s}$$

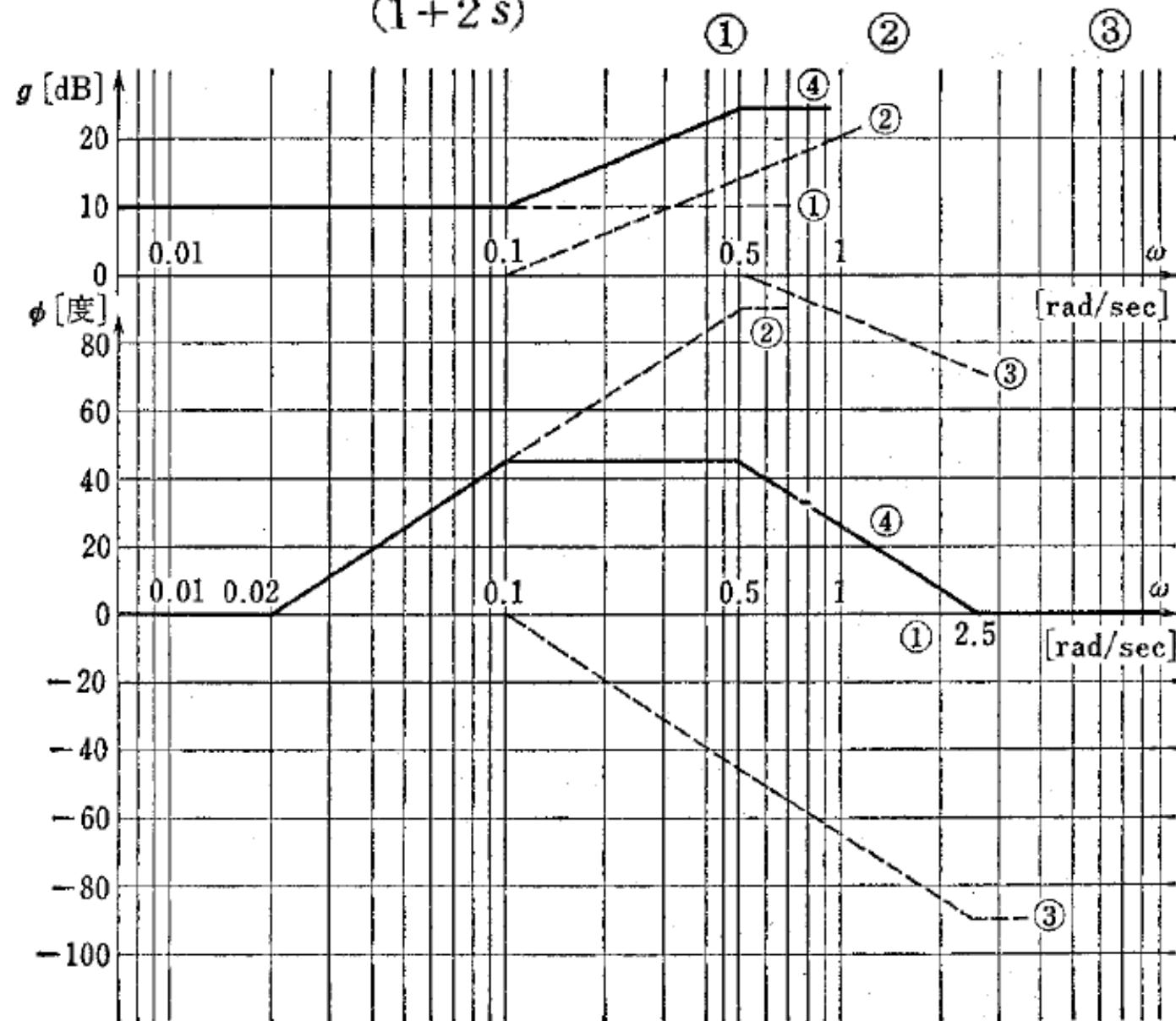


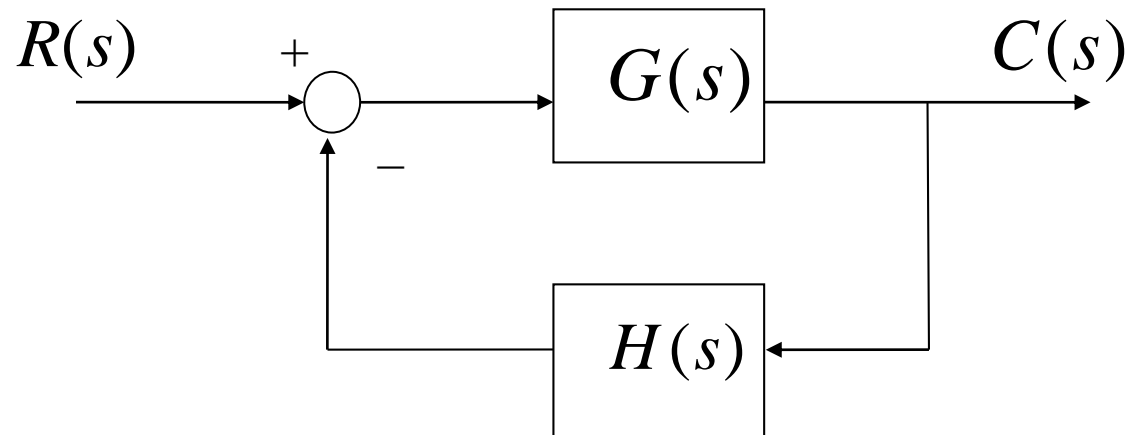
図 5.22 〔例題 5.4〕のボード線図

## 6章 フィードバック制御系の安定性と過渡特性

フィードバック制御系において、フィードバックループを切り離れた時 → 開ループ系

フィードバックループを閉じたとき → 閉ループ系

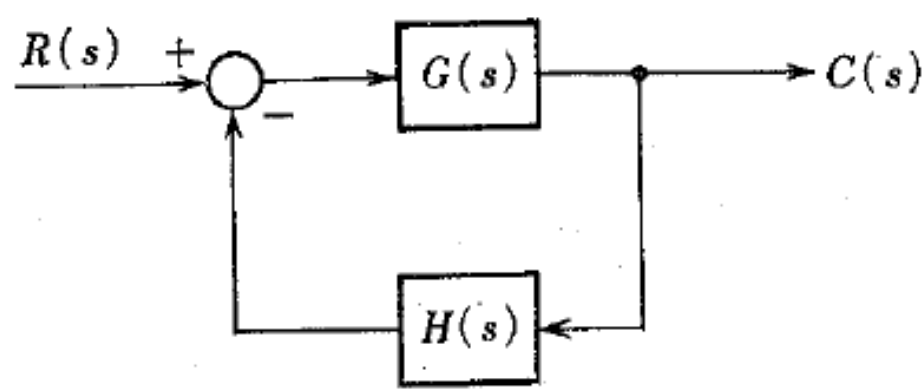
開ループ系が安定であっても、閉ループ系が安定とは限らない



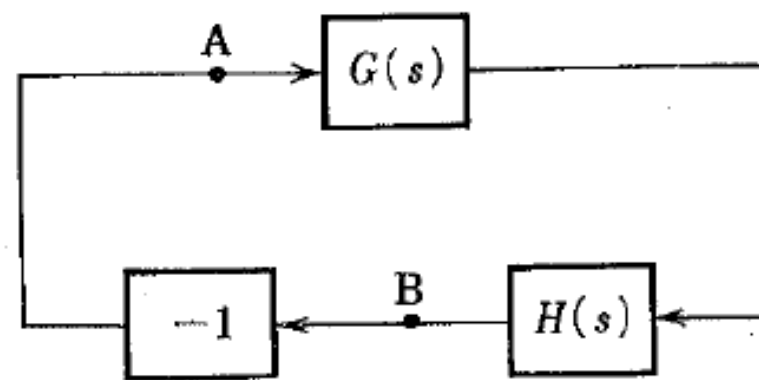
$G(s)H(s)$ : 一巡伝達関数

$G(j\omega)H(j\omega)$ : 一巡周波数応答

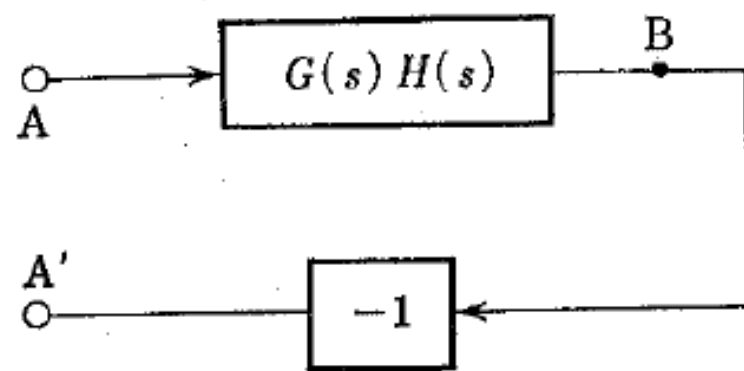
## 6.1 安定判別法 (ナイキストの安定判別法)



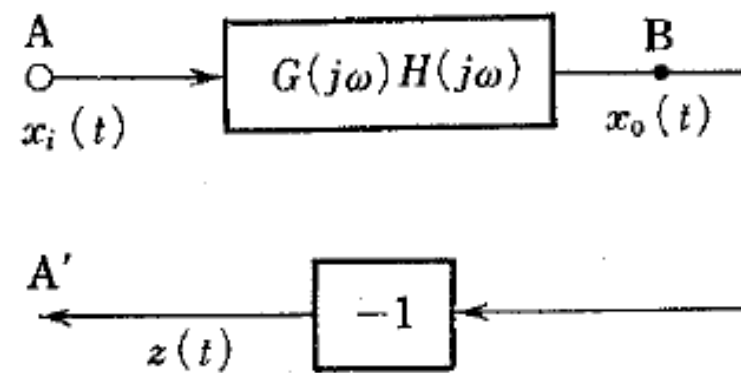
(a)



(b)



(c)



(d)

て図 (d) のブロック線図によって求めることができる。とくに、一巡伝達関数  $G(s)H(s)$  の周波数応答  $G(j\omega)H(j\omega)$  のことを一巡周波数応答と呼んでい

以上のことを前提にして、一巡周波数応答のベクトル軌跡  $G(j\omega)H(j\omega)$  が図 6.3 の曲線①のように  $\omega=\omega_0$  で実軸上  $(-1, j0)$  の左側の点、すなわち  $k>1$  としたとき  $(-k, j0)$  の点を通過する場合を考える。このとき図 6.1 (d) において A 点の信号を

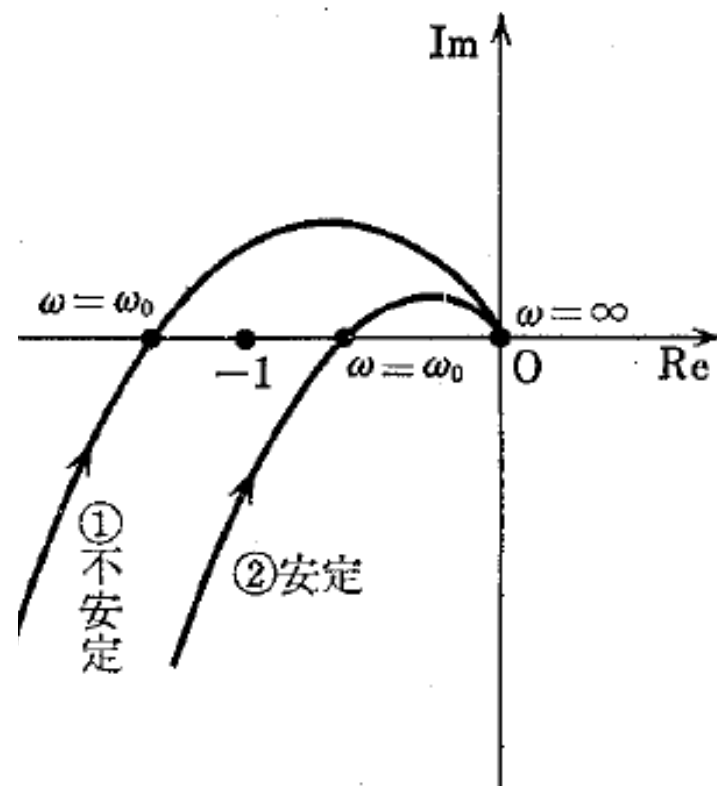
$$x_i(t) = \sin \omega_0 t \quad (6.5)$$

とすると、B 点の信号は

$$x_0(t) = -k \sin \omega_0 t$$

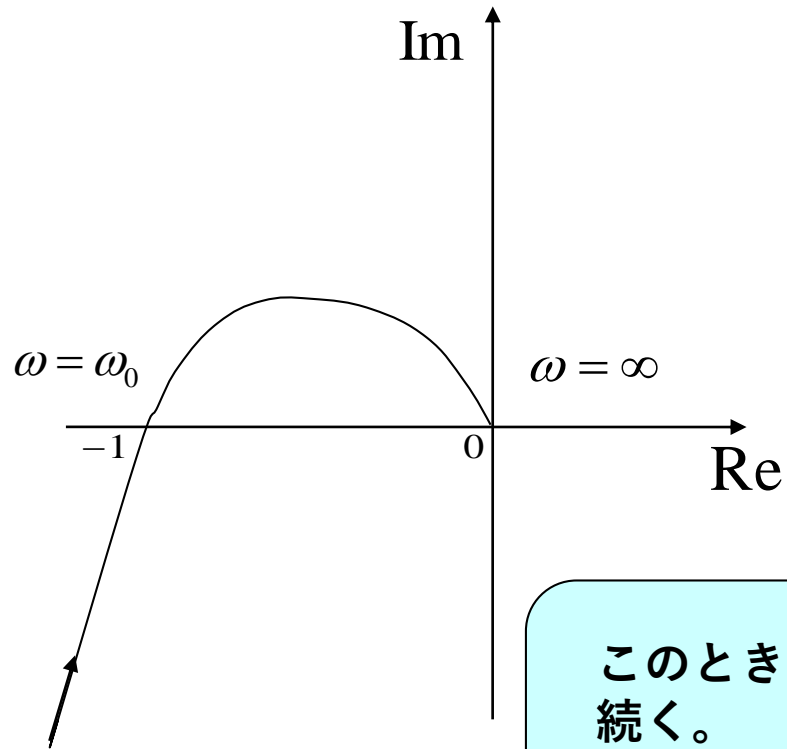
となり、A' 点の信号  $z(t)$  は

$$z(t) = k \sin \omega_0 t$$



3 ベクトル軌跡による閉ループ系の安定判別





一巡周波数応答

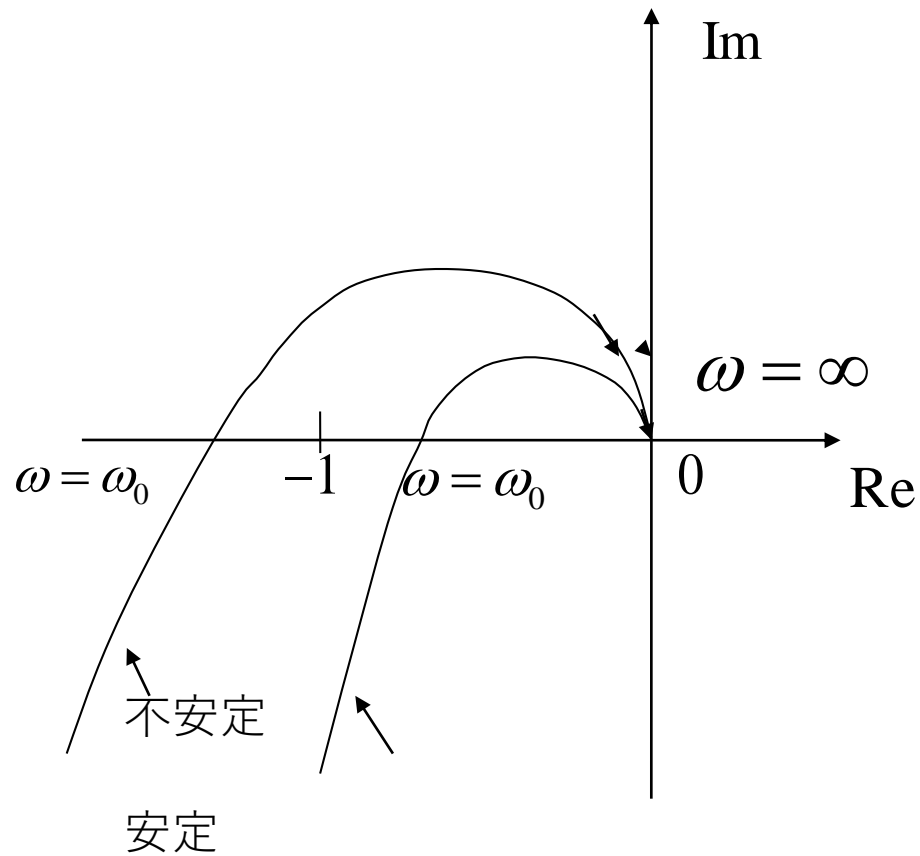
$$G(j\omega_0)H(j\omega_0) = -1 + j0$$

$$\cos(180^\circ) + j\sin(-180^\circ) = e^{-j\pi}$$

振幅比 = 1

位相差 =  $180^\circ$

このとき、外部から信号を与えなくても一定振幅の振動が無限に続く。  
安定と不安定の境目      安定ではない。



### ナイキストの安定判別法

- 1) 一巡周波数応答  $G(j\omega)H(j\omega)$  を求める
- 2)  $G(j\omega)H(j\omega)$  のベクトル軌跡を求める
- 3)  $(-1, j0)$  の右側を通過 → 安定な制御系  
左側を通過 → 不安定な制御系

したがって

1次遅れ要素と2次遅れ要素は  
第2象限に入らないので常に安定である。

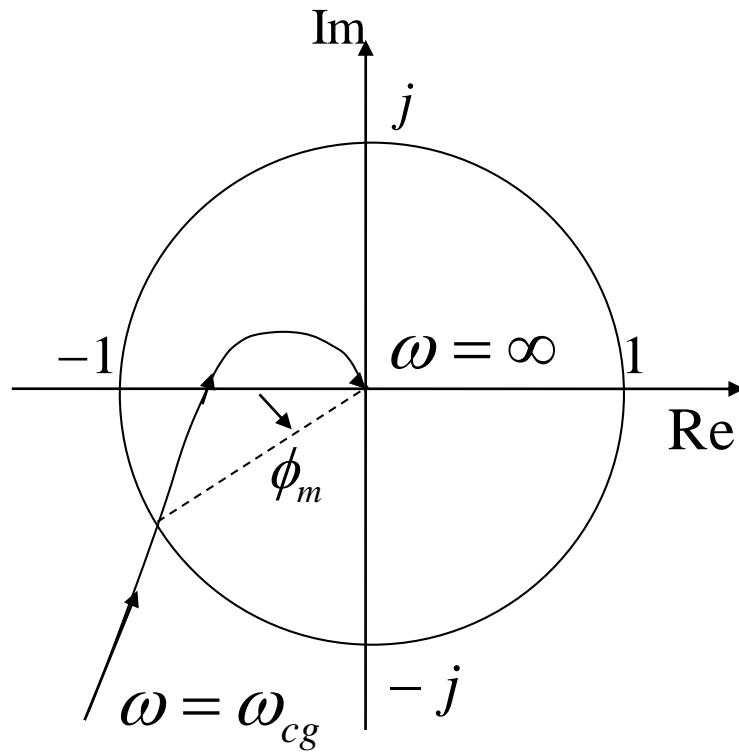
ナイキストの安定判別法を要約すると，次の順序に従って検討していけばよいことになる．

- (1) 与えられたフィードバック制御系において，一巡周波数応答  $G(j\omega)H(j\omega)$  を求める．
- (2)  $G(j\omega)H(j\omega)$  を複素平面に描くことによりベクトル軌跡を求める．
- (3) ベクトル軌跡が負の実軸を横切るとき  $(-1, j0)$  の点の左側を通る場合，与えられたフィードバック制御系は不安定な系である．これに対して  $(-1, j0)$  の右側を通る場合，安定な制御系となる．

## 【6.2 制御系の安定度】

システムがどの程度安定な系であることを示す。

### 6.2.1 位相余有



$\phi_m$  : 位相余有[°]

$\omega_{cg}$  : ゲイン交差角周波数

$\phi_m$  が大きければ大きいほど安定度が高い。

## 6.2 制御系の安定度

### 6.2.1 位相余有

まず、複素平面上において、図 6.9 に示すように、原点を中心に半径 1 の円を描く。次に、この平面上にベクトル軌跡を描き、さきの円との交点を Q とする。また点 Q における角周波数を  $\omega_{cg}$  とする。ここで、点 Q に対し、原点 O から引いたベクトル OQ を考え、このベクトル OQ の角度を負の実軸より計ったとき、この値を位相余有と定義し  $\phi_m$  で表す。さらに点 Q での角周波数  $\omega_{cg}$  をゲイン交差角周波数と呼ぶことにする。このとき、一巡

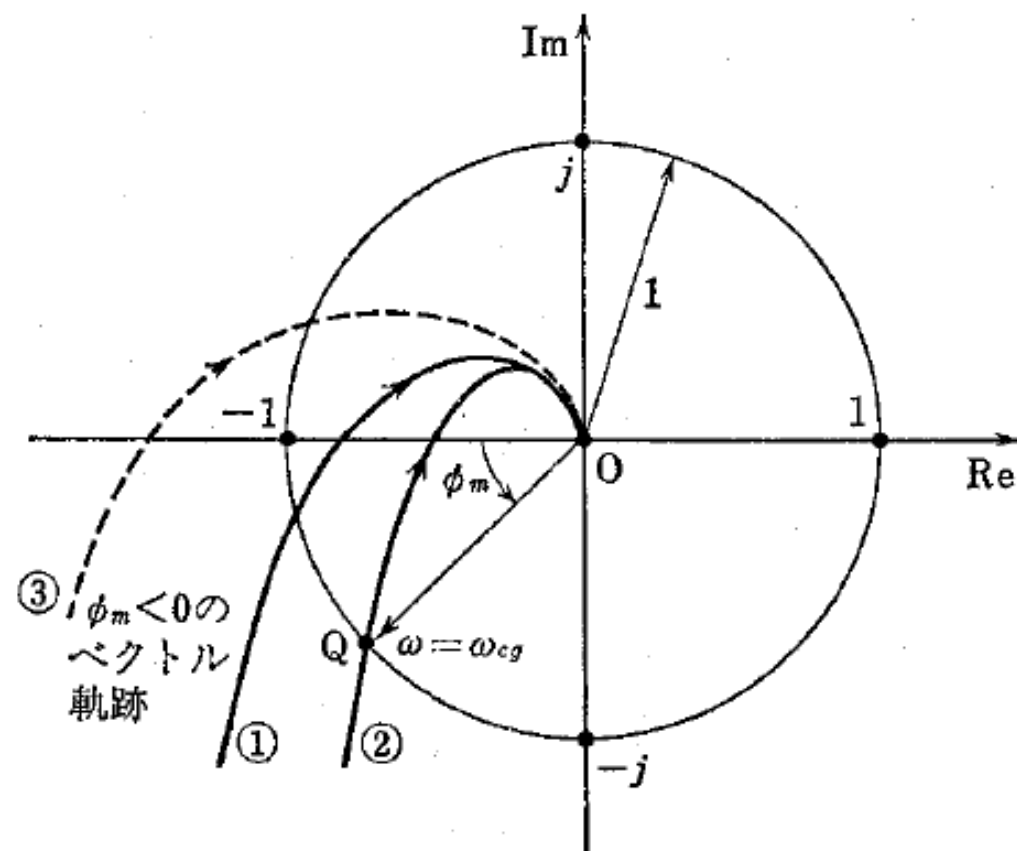


図 6.9 位相余有  $\phi_m$  の定義

周波数応答のベクトル軌跡は、図 6.9 に示す ①, ② を比較して明らかなように  $\phi_m$  が大きければ大きい程、原点に近い位置で負の実軸と交わることになり、安定度の高いフィードバック制御系とすることができる。さらに  $\phi_m$  が負の場合、このベクトル軌跡は図 6.9 の ③ の破線で示すように  $(-1, j0)$  を右にみて負の実軸と交わることになり、このフィードバック制御系は不安定な系となる。

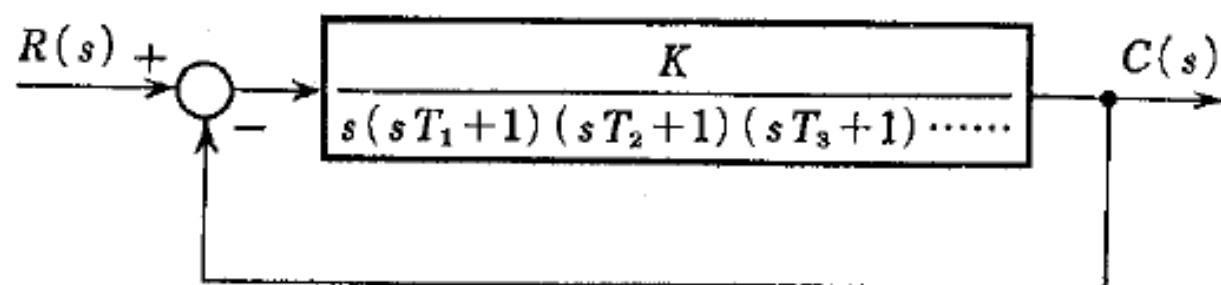


図 6.10 高次の遅れ要素をもつフィードバック制御系

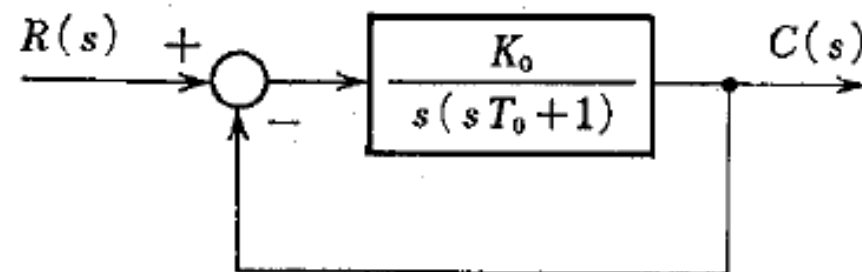
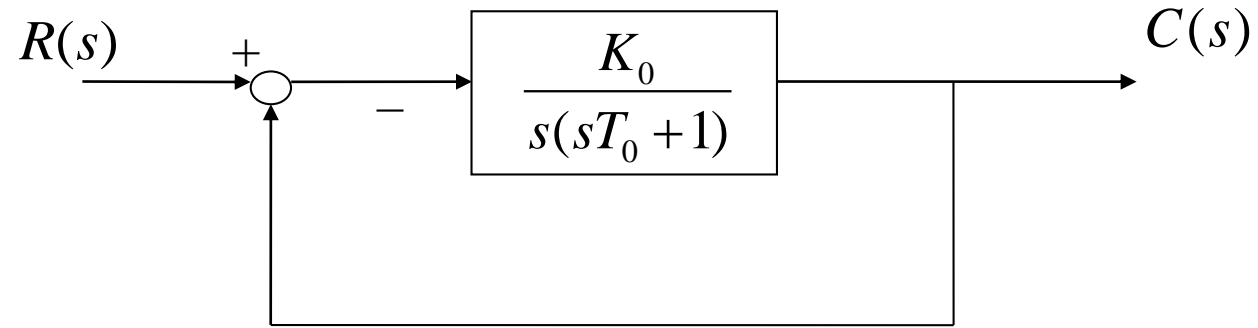


図 6.11 図 6.10 を近似するフィードバック制御系

$\phi_m$ は2次遅れ系にも存在する。



1巡伝達関数  $\frac{K_0}{T_0 s^2 + s}$

閉ループ伝達関数

$$\frac{C(s)}{R(s)} = \frac{\frac{K_0}{T_0 s^2 + s}}{1 + \frac{K_0}{T_0 s^2 + s}} = \frac{1}{1 + \frac{s}{K_0} + \frac{s^2 T_0}{K_0}}$$

$$K_0 = \omega_n / 2\zeta \quad , \quad T_0 = 1 / 2\omega_n \zeta \quad \text{とすると}$$

$$\frac{C(s)}{R(s)} = \frac{1}{1 + \left(\frac{2\zeta}{\omega_n}\right)s + \left(\frac{s}{\omega_n}\right)^2}$$

$$\phi_m = 90^\circ - \tan^{-1} \sqrt{\frac{1}{4} \sqrt{4 + \frac{1}{\zeta^4}} - \frac{1}{2}} \quad (6,13)$$

$$\omega_{cg} = \sqrt{\sqrt{4\zeta^4 + 1} - 2\zeta^2} \omega_n \quad (6,14)$$

3次以上の高次なシステムは, その $\phi_m$ と $\omega_{cg}$ から  
 (6,13) 式と(6,14) 式から2次系に近似することができる。



$$\frac{C(s)}{R(s)} = \frac{K_0/s(sT_0+1)}{1+K_0/s(sT_0+1)} = \frac{1}{1+s/K_0+s^2T_0/K_0}$$

$$\frac{C(s)}{R(s)} = \frac{1}{1+(2\zeta/\omega_n)s+(s/\omega_n)^2} \quad \phi_m = 90^\circ - \tan^{-1} \sqrt{\frac{1}{4} \sqrt{4+1/\zeta^4} - \frac{1}{2}}$$

$$\omega_{cg} = \sqrt{\sqrt{4\zeta^4+1}-2\zeta^2} \omega_n$$

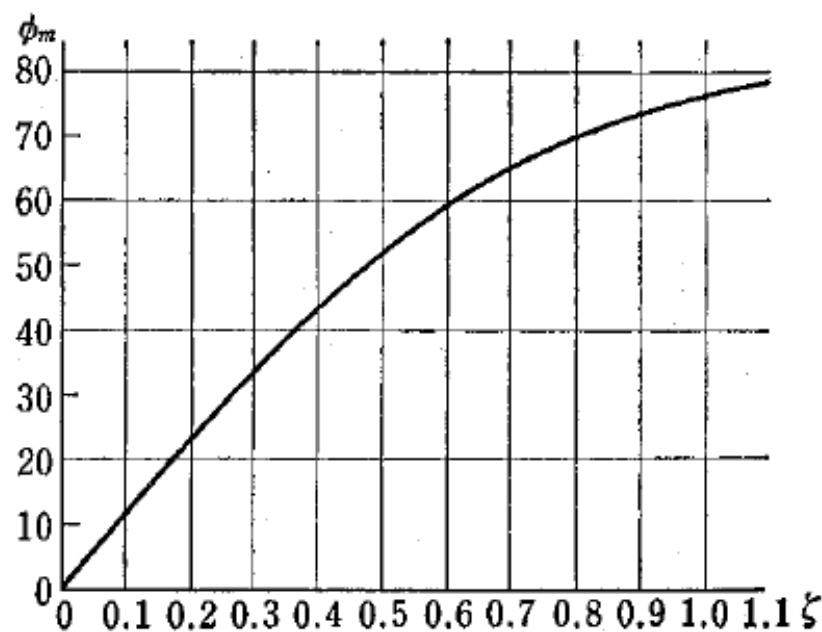


図 6.12  $\phi_m$  と  $\zeta$  の関係

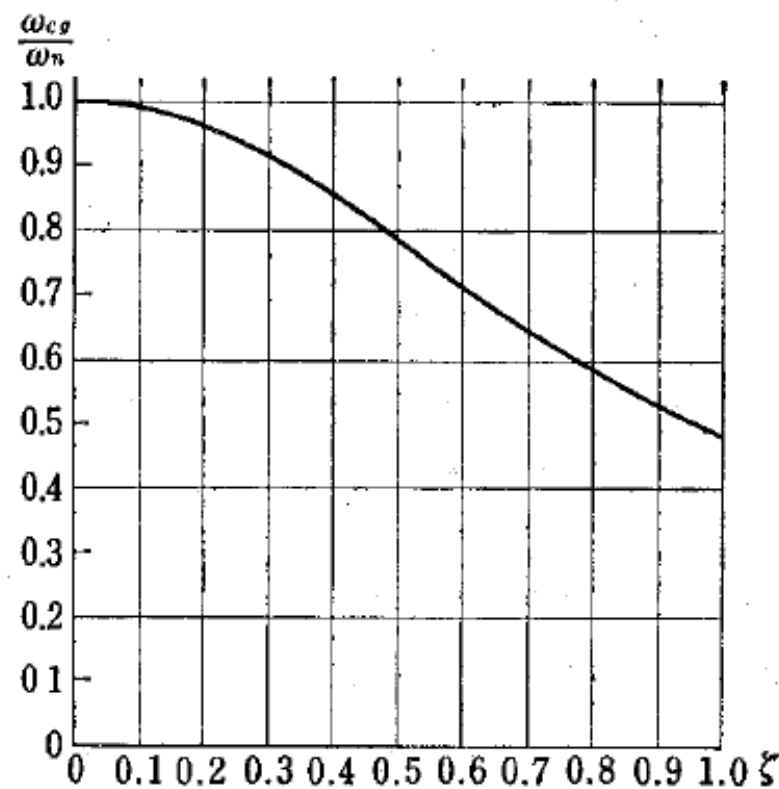


図 6.13  $\omega_{cg}/\omega_n$  と  $\zeta$  の関係

【例題 6.2】 図 6.14 で与えられるフィードバック制御系について，過渡特性を求めよ。

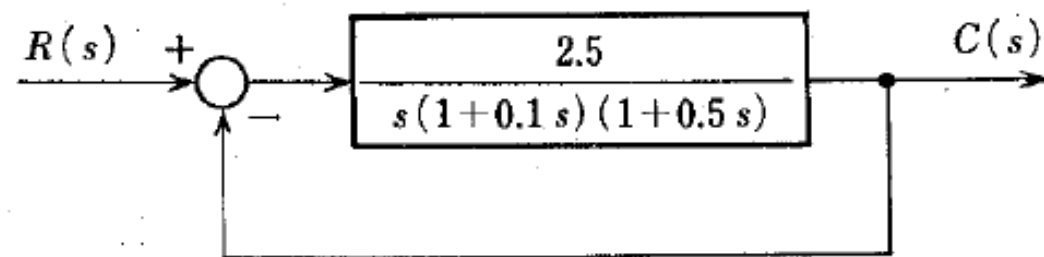


図 6.14 〔例題 6.2〕の制御系

(解) まず一巡周波数応答のベクトル軌跡を描くと、図 6.15 が得られ、これからこの系の位相余有  $\phi_m$  とゲイン交差角周波数  $\omega_{cg}$  は次のように求められる。

$$\phi_m = 38^\circ$$

$$\omega_{cg} = 1.8 \text{ [rad/sec]}$$

図 6.12 より  $\phi_m = 38^\circ$  の系は、閉ループ系の応答にした場合  $\zeta = 0.34$  となることがわかり、さらに  $\zeta = 0.34$  のとき  $\omega_{cg}/\omega_n = 0.9$  となることがわかる。したがって  $\omega_n$  は

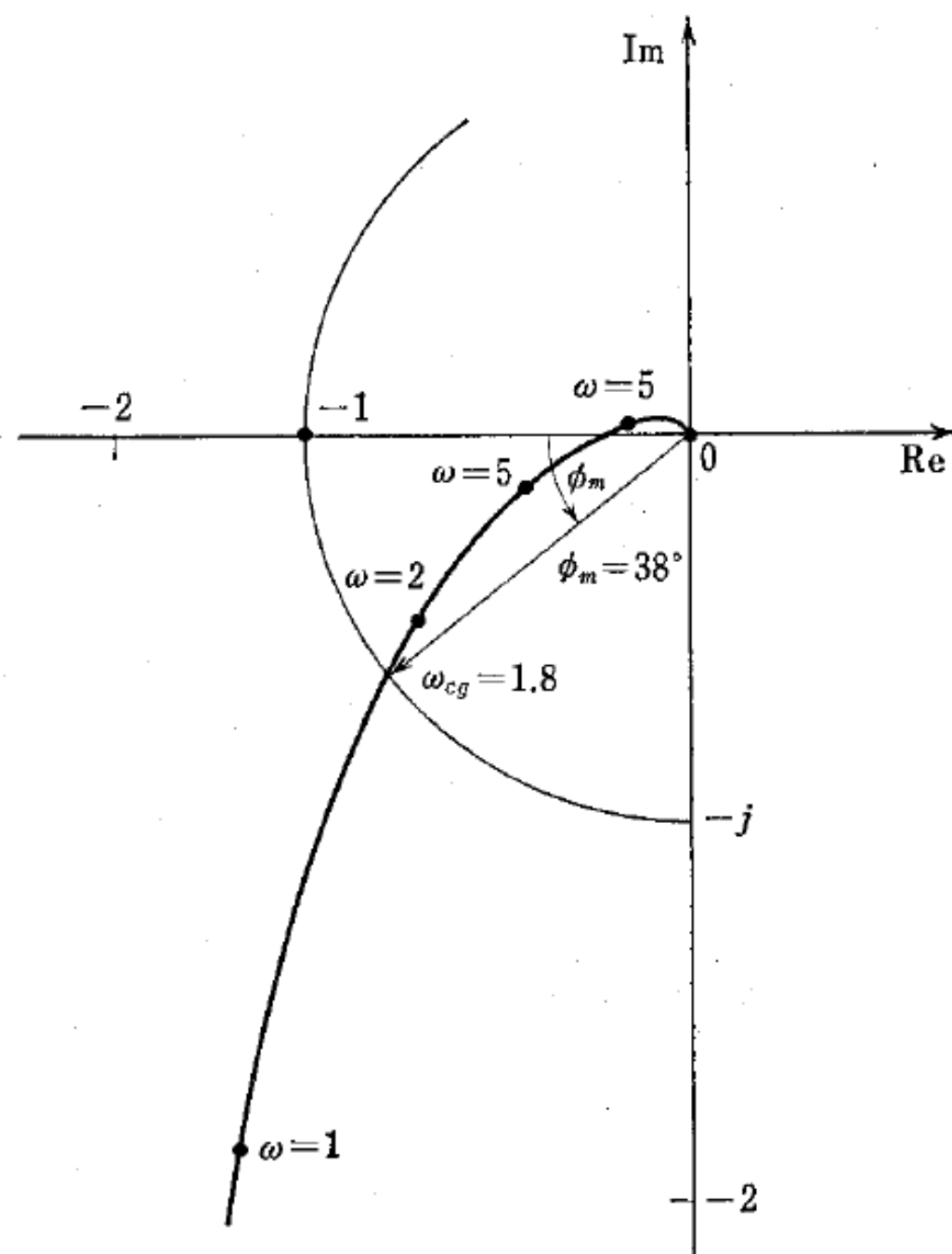
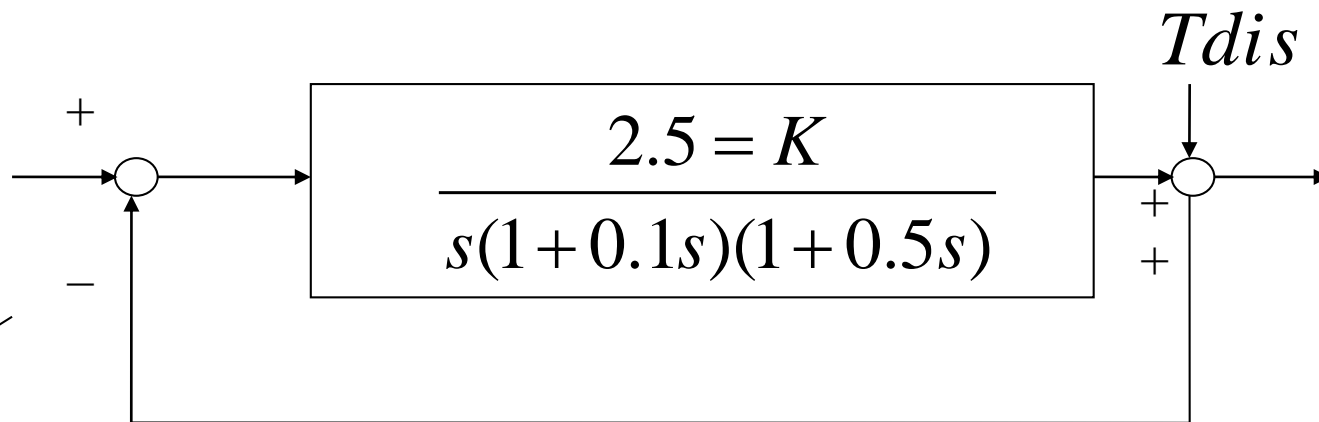


図 6.15 図 6.14 の系の一巡周波数応答のベクトル軌跡

【例題6.2】



$$\underline{\phi_m = 38^\circ}, \quad \underline{\omega_{cg} = 1.8 \text{ [rad/sec]}}$$

$$\downarrow \quad \downarrow$$

$$\zeta = 0.34 \quad \Rightarrow \quad \frac{\omega_{cg}}{\omega_n} = 0.9$$

$$\omega_n = 1.8 / 0.9 = 2.0 \text{ [rad/sec]}$$

$$\frac{\frac{K}{s(s + 0.1s^2)(1 + 0.5s)}}{1 + \frac{K}{s(s + 0.1s^2)(1 + 0.5s)}} = \frac{K}{s(s + 0.1s^2)(1 + 0.5s) + K}$$

$$s \rightarrow 0 \quad \text{利得} \rightarrow \frac{K}{K} = 1$$

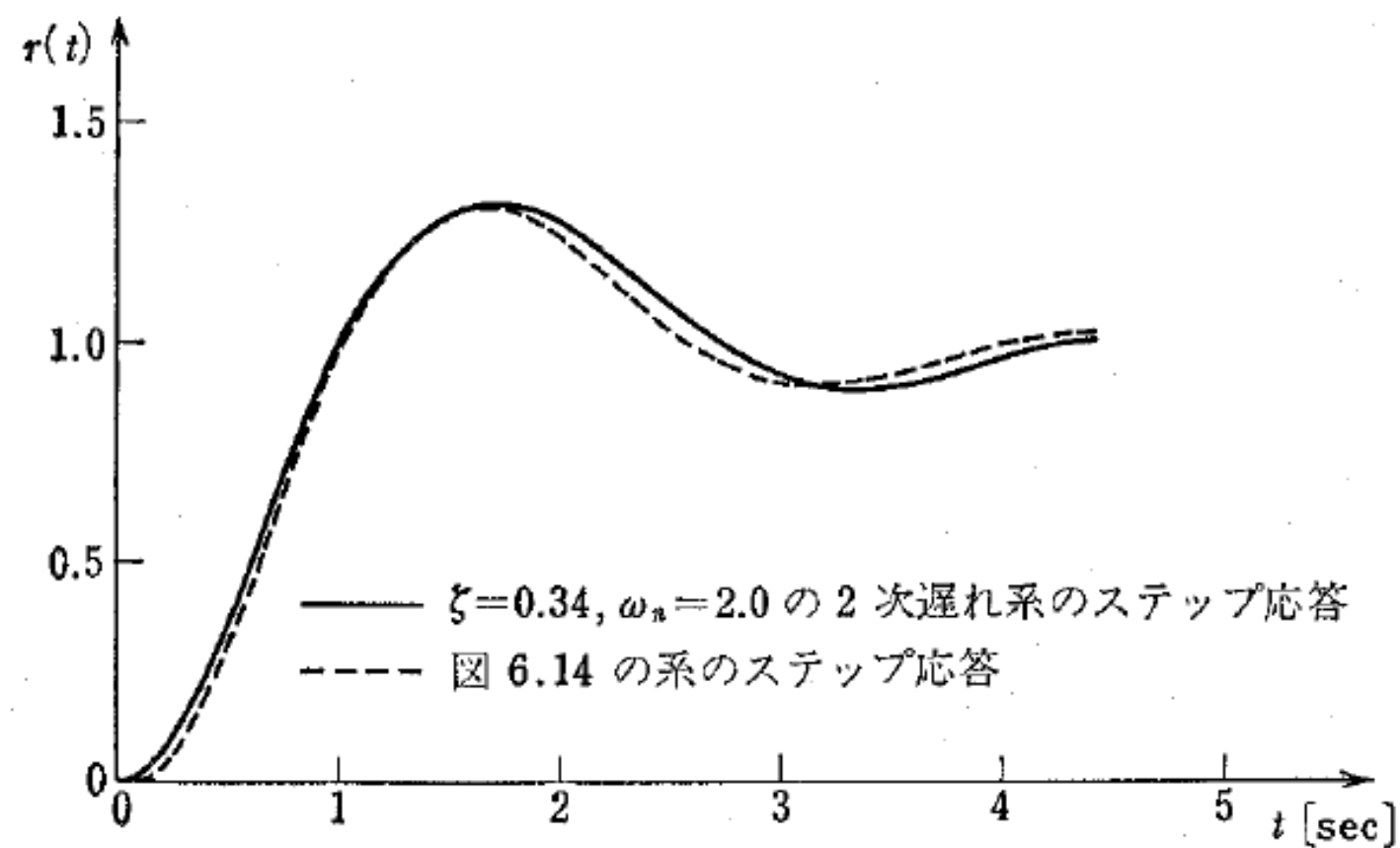
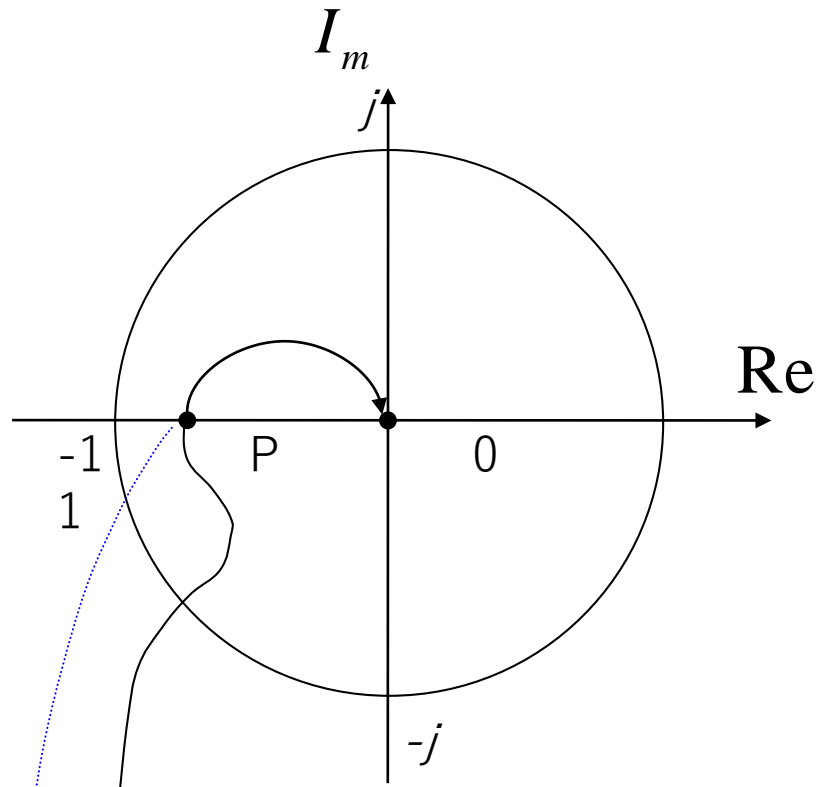


図 6.16 図 6.14 の系のステップ応答

## 【ゲイン余有】

位相余有だけでは不十分な場合がある。

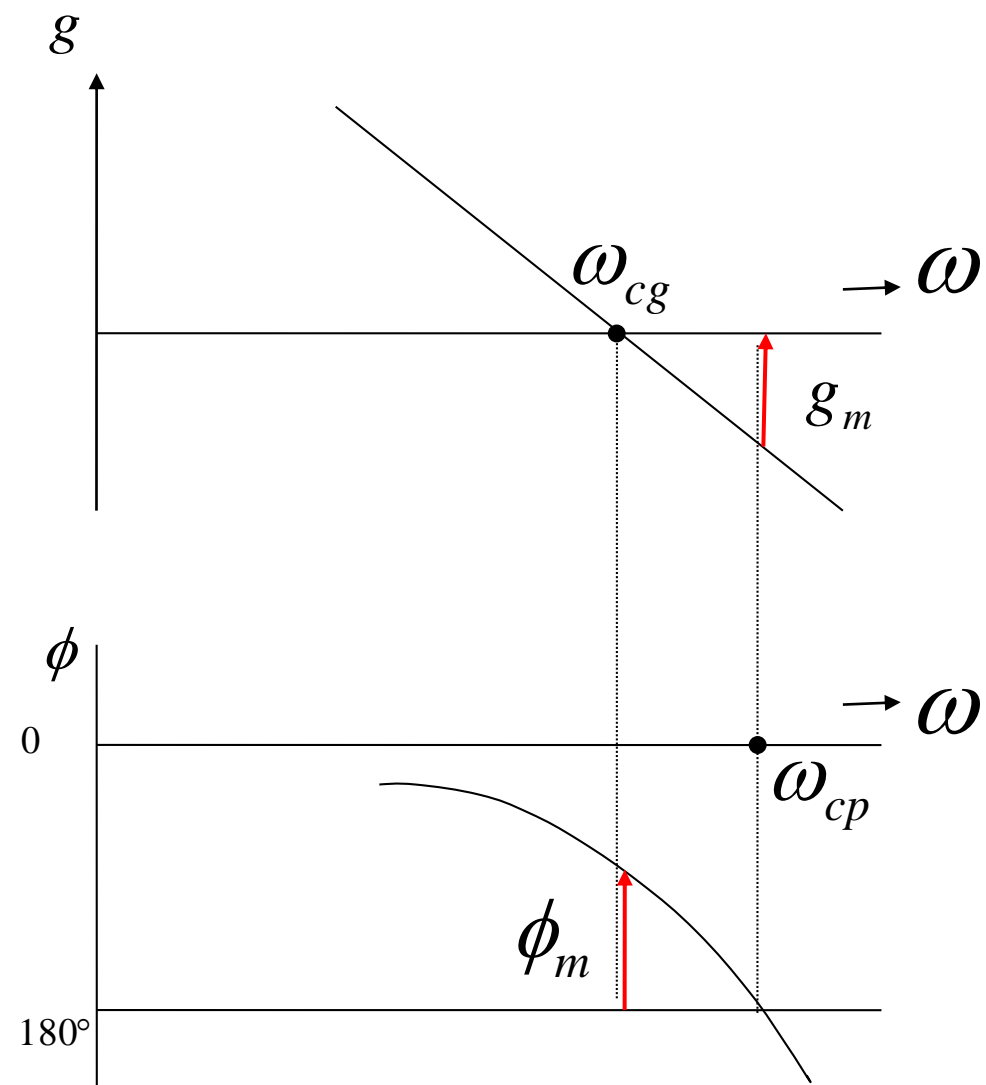


$$g_m = 20 \log \frac{1}{OP}$$
$$= -20 \log OP$$

$OP < 1$	すなわち	$g_m > 0$	安定
$OP \geq 1$	すなわち	$g_m \leq 0$	不安定

$\omega = \omega_{cp}$  : 位相交差角周波数

## ボード線図



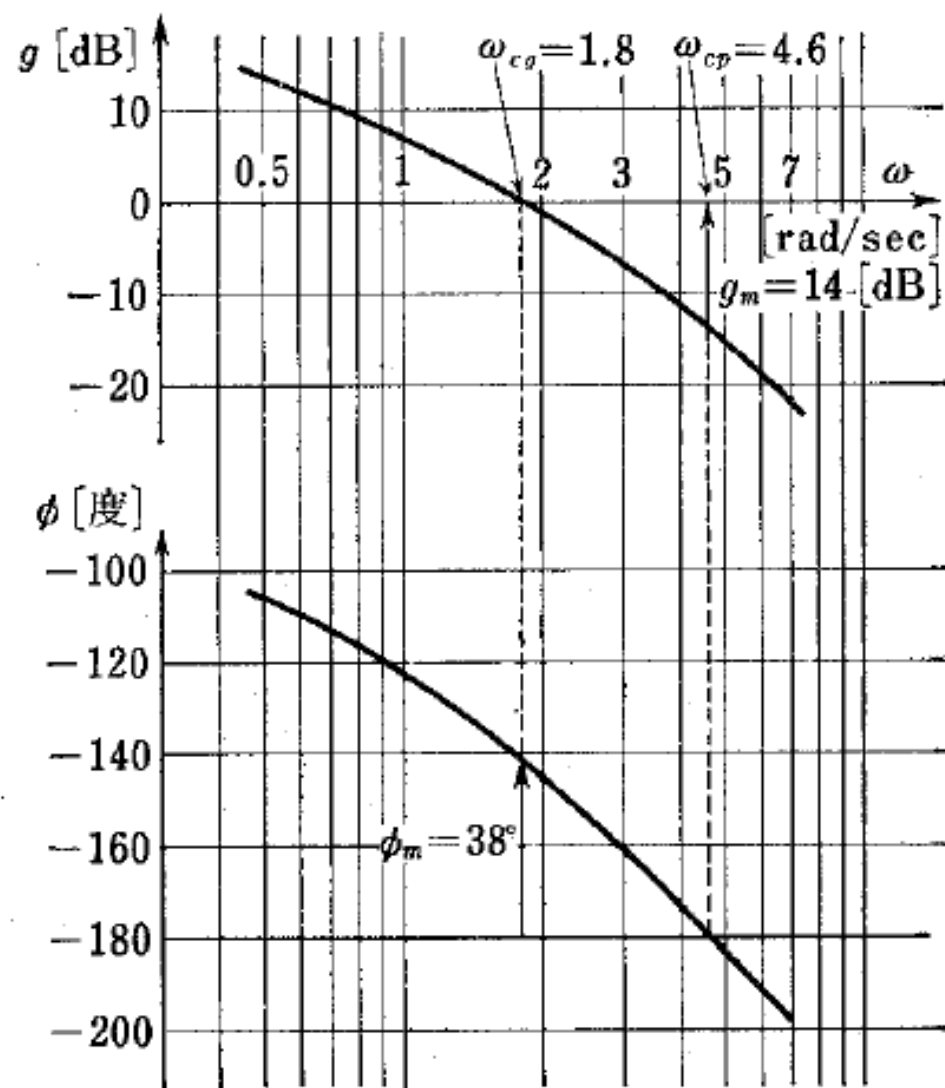


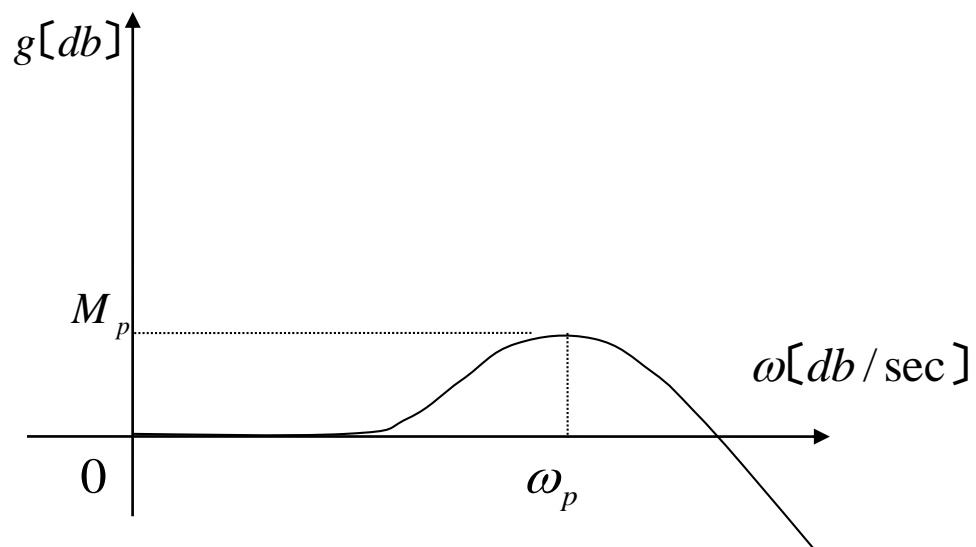
図 6.19 〔例題 6.3〕の系の位相余有とゲイン余有



## 【共振値と過渡特性】

過渡特性が振動的な場合

閉ループ伝達関数



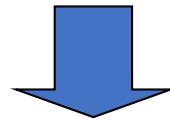
$$M(j\omega) = \frac{G(j\omega)}{1 + G(j\omega)} \cong \frac{\omega_n^2}{s^2 + 2\zeta\omega_n s + \omega_n^2}$$

ただし  $0 < \zeta < \frac{1}{\sqrt{2}}$

$$M_p \text{ と } \zeta$$

$$\frac{\omega_p}{\omega_n} \text{ と } \zeta$$

関係から、高次フィードバック制御系を2次系に近似することができる。



$|G(j\omega)|$  と  $\angle G(j\omega)$  から

$|M(j\omega)|$  と  $\angle M(j\omega)$  を求める方法として ニコルス線図 がある

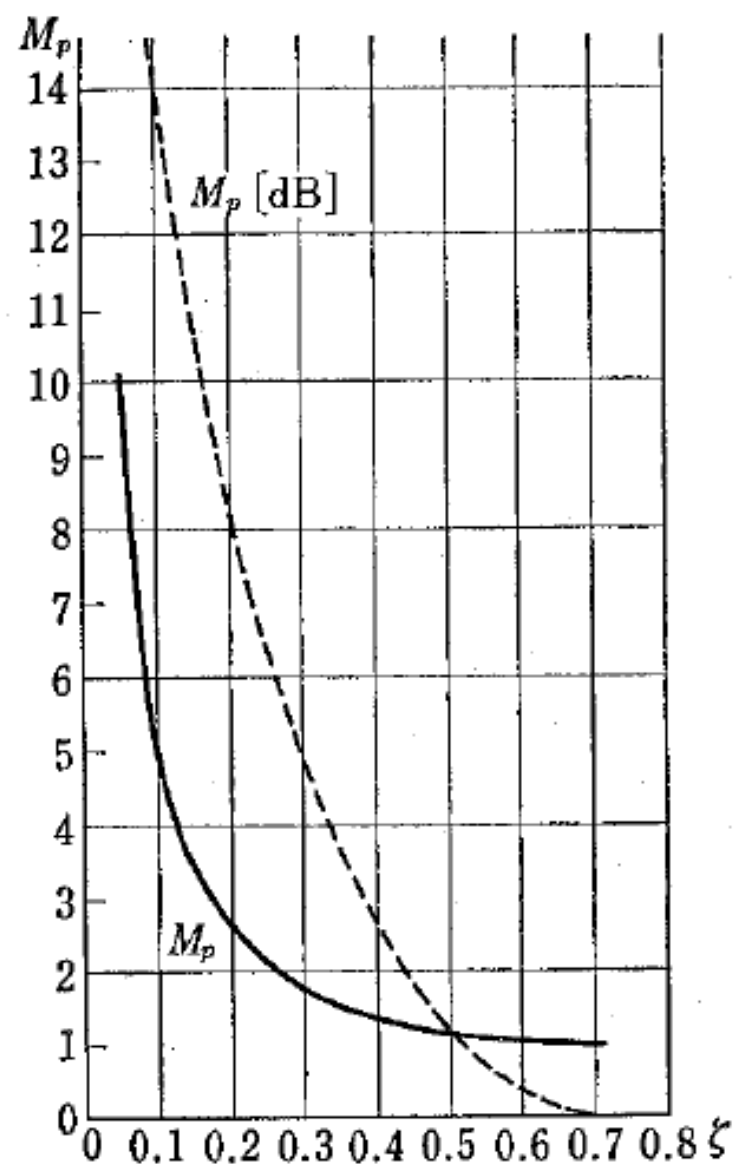


図 6.21  $M_p$  と  $\zeta$  との関係

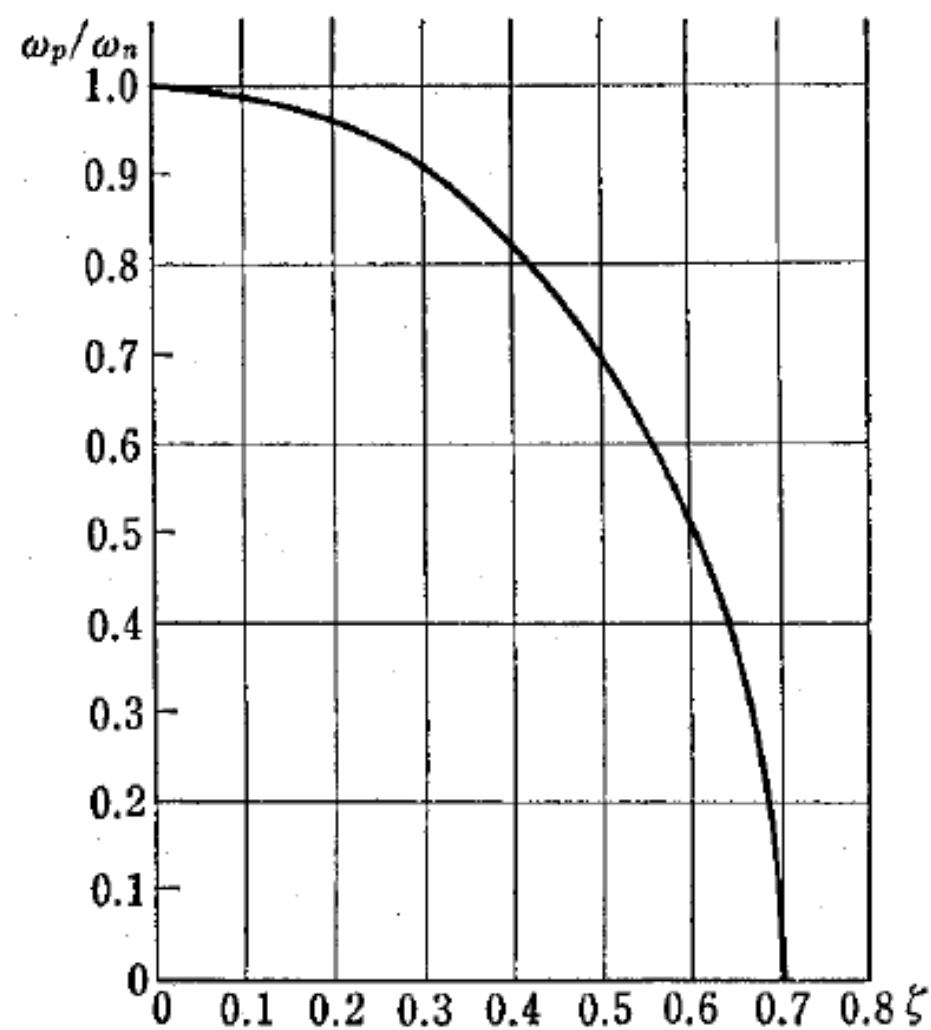


図 6.22  $\omega_p/\omega_n$  と  $\zeta$  の関係

このように、高次の遅れをもつフィードバック制御系は、閉ループ系の周波数応答  $M(j\omega)$  が求まると、その過渡特性も容易に求めることができた。ところが図 6.7 の制御系において、一巡周波数応答  $G(j\omega)$  は、前章で述べた 5.3.2 項 (6) の方法を用いることにより簡単に求められるのに対し、式 (6.16) で与えられる  $M(j\omega)$  は簡単に求めることができない。そのために用意されている線図が、図 6.23 に示すニコルス線図である。線図中に  $20 \log |G(j\omega)|$ ,  $\angle G(j\omega)$  の値から決まる点を、それぞれ、縦軸、横軸を座標軸としてプロットすると、図中の目盛線から  $20 \log |M(j\omega)|$ ,  $\angle M(j\omega)$  の値をただちに読み取ることができる。次の例題を検討して、ニコルス線図の使い方および過渡特性の求め方を学ぶこととする。

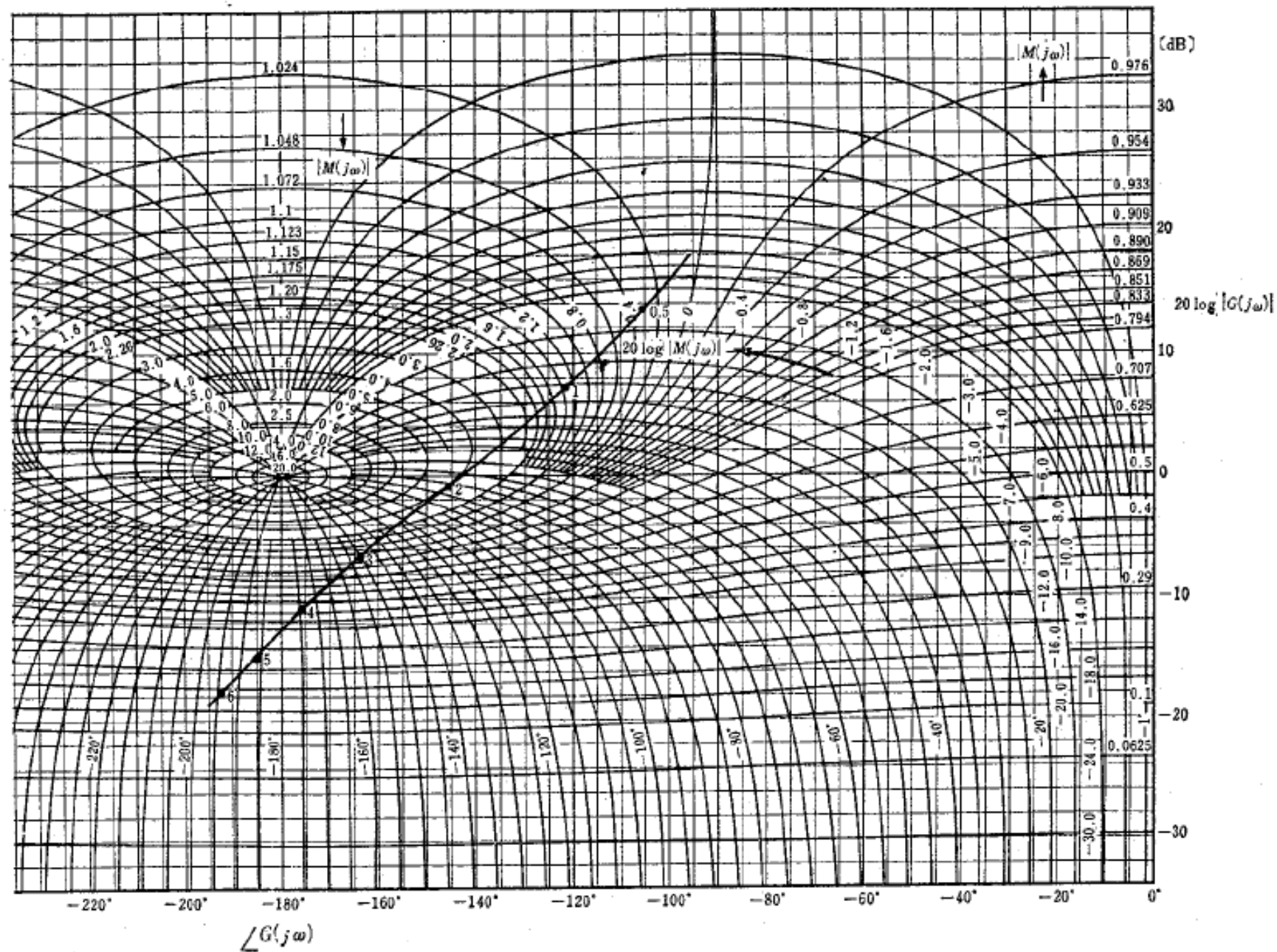


図 6.24 ニコルス線図上の軌跡

【例題 6.4】 図 6.14 の系について、

- (i) ニコルス線図を用いて閉ループ周波数応答  $M(j\omega)$  を求めよ.
- (ii) 共振点における  $M_p$ ,  $\omega_p$  を用いて過渡特性を検討せよ.

(解) 図 6.14 の系の一巡周波数応答は図 6.19 のボード線図で表すことができた. 次に  $20 \log |G(j\omega_0)|$ ,  $\angle G(j\omega_0)$  の値をニコルス線図中にプロットすることにより  $\omega = \omega_0$  のときの点が決まる. たとえば  $\omega = 1$  のとき  $20 \log |G(j)| = 6.5$ ,  $\angle G(j) = -122.3^\circ$  であることから, これによって, 図 6.24 中の  $\omega = 1$  の点が決まる. 次にニコルス線図中の目盛線を用いて  $20 \log |M(j)| = 1.3$  [dB],  $\angle M(j) = -28^\circ$  が求まる. 他の  $\omega$  についても, 同様にして  $20 \log |M(j\omega)|$  と  $\angle M(j\omega)$  の値を求めていくと,  $M(j\omega)$  のボード線図が図 6.25 のように描ける.

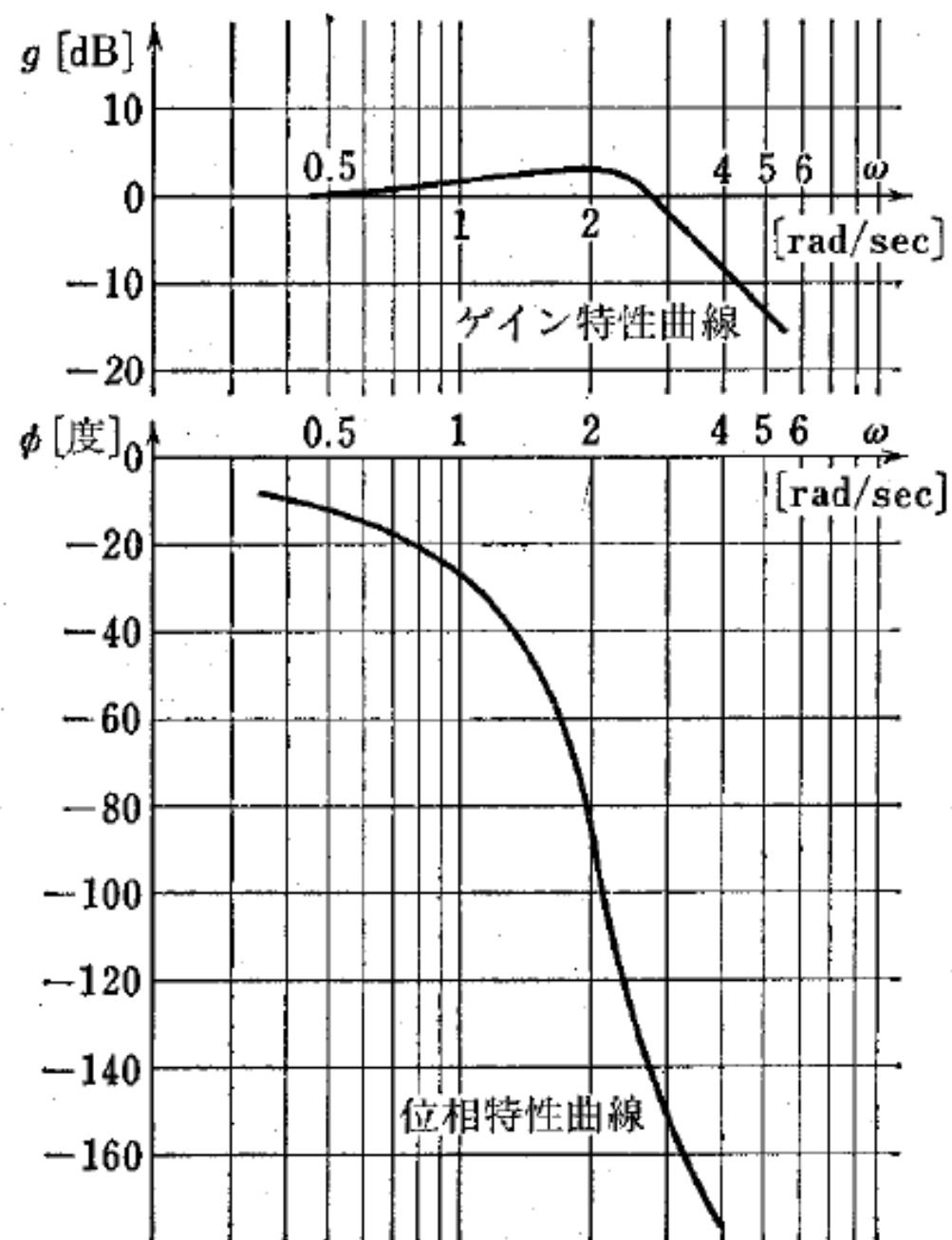


図 6.25 閉ループ周波数応答

## テキストの問題 6.1

$\frac{2(s+1)}{s^2}$  の位相余有

$$\begin{aligned} F(j\omega) &= \left| \frac{2j\omega + 2}{-\omega^2} \right| \\ &= \left| -\frac{2}{\omega^2} - 2j\frac{1}{\omega} \right| \end{aligned}$$

$$\sqrt{\frac{4}{\omega^4} + \frac{4}{\omega^2}} = 1$$

$$\omega^4 = 4\omega^2 + 4$$

$$\omega^4 - 4\omega^2 - 4 = 0$$

$$\omega^2 = \frac{4 \pm 4\sqrt{2}}{2}$$

$$\omega = \sqrt{\frac{4 + 4\sqrt{2}}{2}} = 2.197 [\text{rad} / \text{sec}]$$

$$\angle F(j\omega) = \tan \theta = \frac{-\frac{2}{\omega}}{-\frac{2}{\omega^2}} = \omega$$

$$\theta = \tan^{-1} \omega = \tan^{-1} 2.197 = 65.53^\circ$$



## 制御理論 演習問題 2

$\frac{60}{s(s+2)(s+6)}$  のゲイン余有を求めよ

留数

$$\frac{1}{s} \rightarrow \frac{60}{2 \times 6} = 5 \quad , \quad \frac{1}{s+2} \rightarrow \frac{60}{-2 \times 4} = -7.5 \quad , \quad \frac{1}{s+6} \rightarrow \frac{60}{-6 \times (-4)} = 2.5$$